






Datum:

Revize:	Datum:	Popis:	Kontroloval:
000	20.10.2022	Definitivní odevzdání dokumentace	Ing. Král

Stavebník/investor:	Správa železnic, státní organizace	
Adresa:	Dlážděná 1003/7, 110 00 Praha 1	
Zástupce investora:	Stavební správa východ	
Adresa:	Nerudova 773/1, 779 00 Olomouc	

Zhotovitel díla: Adresa: Kontakt:	Prodin a.s. K Vápence 2745, 530 02 Pardubice T: +420 466 055 130 E: info@prodin.cz	
Zhotovitel části/objektu: Adresa: Kontakt:	Prodín a.s. K Vápence 2745, 530 02 Pardubice T: 420 466 055 130 E: info@prodin.cz	
Hlavní projektant (HIP):	Ing. M. Procházka, Bc. J. Oplíštil	Specialista:
		Ing. Tomáš Král

Název stavby/akce:	Rekonstrukce výpravní budovy v žst. Jaroměř		Označení investora: S621700087											
			Zakázka: 3111/21/087											
Název části:	Pozemní objekty výpravních budov a budov zastávek		Označení části: D.2.2.1											
Název objektu/díličí části:	Výpravní budova v žst. Jaroměř Stavebně konstrukční řešení		Číslo objektu/komplexu: SO 77-71-01 .02											
Název přílohy:	Statický výpočet		Číslo přílohy: 3 . 000											
Název díličí části přílohy:	-													
Odpovědný projektant:	Zpracovatel přílohy:	Měřítko:	-											
Ing. Tomáš Král	Ing. Jiří Fíla	Formáty:	-											
Kraj:	Katastrální uzemí:	TUDU:	Smluvní datum zpracování:											
Královéhradecký	Jaroměř [657336]	1601 D1	20.10.2022											
Označení investora:	Stupeň dokumentace:	Část:	Objekt:	Podobjekt:	Příloha:	Revize:								
S 6 2 1 7 0 0 0 8 7	D U S P	D A 2 0 1	S O 7 7 7 1 0 1	0 2	3	0 0 0 0	0 0 0 0							

Obsah

1.	Úvod	7
2.	Návrhové parametry stávající konstrukce	7
2.1.1	Dřevěné konstrukce	7
2.1.2	Litinové konstrukce	7
2.1.3	Ocelové konstrukce	7
3.	Stanovení zatížení	7
3.1	Zatížení stálé	7
3.1.1	Střešní konstrukce	7
3.1.2	Stropní konstrukce	9
3.2	Proměnné zatížení	11
3.2.1	Užitné zatížení	11
3.2.2	Zatížení sněhem	12
3.2.3	Zatížení větrem	17
4.	Posouzení	18
4.1	Konstrukce krovu nad nejstarší části – rizality	18
4.1.1	2D model	18
4.1.2	Ostatní stálé zatížení	18
4.1.3	Užitné zatížení	18
4.1.4	Zatížení sněhem	19
4.1.5	Zatížení větrem	19
4.1.6	Posouzení MSÚ	19
4.1.7	Posouzení MSP	19
4.2	Konstrukce krovu nad nejstarší částí – hlavní část	19
4.2.1	2D model	19
4.2.2	Ostatní stálé zatížení	20
4.2.3	Užitné zatížení	20
4.2.4	Zatížení sněhem	20
4.2.5	Zatížení větrem	20
4.2.6	Posouzení MSÚ	21
4.2.7	Posouzení MSP	21
4.3	Konstrukce krovu přízemní části	21
4.3.1	2D model	21
4.3.2	Ostatní stálé zatížení	21
4.3.3	Užitné zatížení	22
4.3.4	Zatížení sněhem	22
4.3.5	Zatížení větrem	22
4.3.6	Posouzení MSÚ	22

4.3.7	Posouzení MSP	22
4.4	Konstrukce krovu výškové části.....	23
4.4.1	2D model	23
4.4.2	Ostatní stálé zatížení	23
4.4.3	Užitné zatížení	23
4.4.4	Zatížení sněhem.....	24
4.4.5	Zatížení větrem.....	24
4.4.6	Posouzení MSÚ.....	24
4.4.7	Posouzení MSP	25
4.5	Konstrukce krovu severozápadního a severovýchodního křídla	25
4.5.1	2D model	25
4.5.2	Ostatní stálé zatížení	26
4.5.3	Užitné zatížení	27
4.5.4	Zatížení sněhem.....	28
4.5.5	Zatížení větrem.....	29
4.5.6	Posouzení MSÚ.....	30
4.5.7	Posouzení MSP	31
4.6	Posouzení průvlaku v místě bouraného otvoru v přízemní části	32
4.7	Posouzení zastřešení nástupiště	33
4.7.1	3D model	33
4.7.2	Ostatní stálé zatížení	34
4.7.3	Užitné zatížení	34
4.7.4	Zatížení sněhem.....	35
4.7.5	Zatížení větrem.....	35
4.7.6	Posouzení ocelových konstrukcí MSÚ	36
4.7.7	Posouzení ocelových konstrukcí MSP.....	36
4.7.8	Posouzení dřevěných konstrukcí MSÚ	37
4.7.9	Posouzení dřevěných konstrukcí MSP.....	38
4.8	Posouzení nosné konstrukce mezistropu nad sociálním zařízením	39
4.9	Posouzení provizorní konstrukce záporového pažení.....	40
4.10	Posouzení ocelových překladů v nadpraží bouraných otvorů.....	53
4.10.1	Průřezy.....	53
4.10.2	Materiály	54
4.10.3	Zatěžovací stavy.....	54
4.10.4	Kombinace.....	54
4.10.5	Posudek ocelových prvků na MSÚ EC-EN 1993.....	54
4.10.6	EC-EN 1993 Posudek oceli MSP	59
4.11	Návrh a posouzení konstrukce stropu v severozápadním křídle.....	59



Rekonstrukce výpravní budovy žst. Jaroměř

4.11.1	Průřezy.....	59
4.11.2	Materiály	60
4.11.3	Zatěžovací stavy.....	60
4.11.4	Kombinace.....	61
4.11.5	Posudek dřeva podle MSÚ; Jedn. Posudek	62
4.11.6	Posudek dřeva podle MSP; Jedn. Posudek.....	65
4.12	Posouzení krokví v místě světlíku nad halou.....	66



1. Úvod

Předmětem zprávy je projekt opravných a udržovacích prací dokončené stavby výpravní budovy v Jaroměři. Projekt je zpracován v rozsahu dokumentace pro provedení stavby.

Objekt je v současné době využíván pro uspokojování přepravních potřeb a poskytování služeb spojených s přepravou osob a věcí. Stavbou se využítí pozemků a staveb na nich nezmění.

Hodnocení stávajícího objektu v nosných konstrukcích je na základě provedených průzkumů, sond a dostupné archivní dokumentace. Spolehlivost nosných konstrukcí je posuzována podle platných norem systému ČSN EN a technických zvyklostí, v souladu s ČSN ISO 13822 a ČSN 73 0038.

2. NÁVRHOVÉ PARAMETRY STÁVAJÍCÍ KONSTRUKCE

2.1.1 Dřevěné konstrukce

Dřevěné konstrukce se předpokládají z konstrukčního řeziva třídy C24.

2.1.2 Litinové konstrukce

Litinové konstrukce zastřešení nástupiště byly posouzeny na orientační hodnoty doporučené normou ČSN 73 0038.

Pevnost f_d	Sloupy (v tlaku)	100 MPa
	Nosníky (v tahu za ohybu)	30 MPa
Modul pružnosti E		100 GPa
Modul pružnosti ve smyku G		30 GPa
Součinitel roztažnosti α		$10 \times 10^{-6} \text{ K}^{-1}$
Součinitele materiálu		1,00

2.1.3 Ocelové konstrukce

Dle archivní dokumentace jsou ocelové nosníky zastřešení nástupiště výšky 150 mm a 210 mm. Podle Technického průvodce pro inženýry a stavitele z roku 1924 se jedná nejspíše o německé profily I15 a I21, ve výpočtu proto byly použity průřezové charakteristiky těchto profilů.

Konstrukce zastřešení nástupiště byly posouzeny na orientační materiálové charakteristiky doporučené normou ČSN 73 0038 a předpisem SŽ S5/1. Konstrukce zastřešení nástupiště byla vystavěna pravděpodobně v roce 1899. Za předpokladu, že se jedná o svářkové železo, lze dle normy a předpisu SŽ uvažovat následující hodnoty:

Charakteristická mez kluzu f_y		210 MPa
Mez pevnosti f_u		340 MPa
Modul pružnosti E		200 GPa
Součinitele materiálu	γ_{M0}	1,10
	γ_{M1}	1,20
	γ_{M2}	1,30

3. STANOVENÍ ZATÍŽENÍ

3.1 Zatížení stálé

3.1.1 Střešní konstrukce

Skladba střešní konstrukce se nemění, pouze se dle potřeby vymění krytina a porušené prvky bednění a krovu. Výměnou těchto prvků nedojde ke změně zatížení, neboť budou všechny části konstrukce nahrazeny prvky se stejnými hmotnostmi.

STÁLÉ ZATÍŽENÍ

ČSN EN 1991 - Zatížení konstrukcí

Část 1-1: Obecná zatížení - Objemové tíhy, vlastní tíha a užitná zatížení pozemních staveb

STÁLÉ G1	G1 Skladba střechy část B - nový stav					
	Položka	tloušťka [mm]	γ [kN/m ³]	$g_{1,ki}$ [kN/m ²]	γ_G	$g_{1,di}$ [kN/m ²]
	Plechová falcová krytina			0,05		0,07
	Pojistná hydroizolace			0,09		0,12
	Dřevěná prkna na sraz	24	6,00	0,14	1,35	0,19
	Kontralatě 60 x 40 mm á 1 m	2,4	6,00	0,01		0,02
	Krovky 140 x 160 mm á 0,8 m	28	6,00	0,17		0,23
	Dřevěná prkna na sraz	24	6,00	0,14		0,19
	Rezerva			0,04		0,05
Stálé zatížení celkem G1				0,65 [kN/m ²]		0,88 [kN/m ²]
STÁLÉ G2	G2 Skladba střechy část A a C - nový stav					
	Položka	tloušťka [mm]	γ [kN/m ³]	$g_{2,ki}$ [kN/m ²]	γ_G	$g_{2,di}$ [kN/m ²]
	Krytina - hliníkové šablony			0,13		0,18
	Pojistná hydroizolace			0,09		0,12
	Dřevěná prkna na sraz	24	6,00	0,14	1,35	0,19
	Vlašské krovky 120 x 160 mm á 0,9 m	21,333333	6,00	0,13		0,17
	Rezerva			0,01		0,01
Stálé zatížení celkem G2				0,50 [kN/m ²]		0,68 [kN/m ²]
STÁLÉ G11	G11 Skladba střechy nástupiště					
	Položka	tloušťka [mm]	γ [kN/m ³]	$g_{1,ki}$ [kN/m ²]	γ_G	$g_{1,di}$ [kN/m ²]
	Plechová falcová krytina			0,05		0,07
	Pojistná hydroizolace			0,09		0,12
	Dřevěná prkna na sraz	24	6,00	0,14	1,35	0,19
	Prkenný podhled	25	6,00	0,15		0,20
Stálé zatížení celkem G11				0,43 [kN/m ²]		0,59 [kN/m ²]

3.1.2 Stropní konstrukce

	G3 Skladba stropu 1.PP - nový stav					
	Položka	tloušťka [mm]	γ [kN/m ³]	$g_{2,ki}$ [kN/m ²]	γ_G	$g_{2,di}$ [kN/m ²]
STÁLÉ G3	Nášlapná vrstva (dlažba)	15	26,00	0,39	1,35	0,53
	Betonová mazanina	50	25,00	1,25		1,69
	Tepelná izolace EPS	140	0,30	0,04		0,06
	Hydroizolace	4	12,50	0,05		0,07
	Keramzitbetonová mazanina	50	13,00	0,65		0,88
	Keramzit frakce 0 - 8, tl. 0 - 200 mm	100	5,50	0,55		0,74
	Zděná klenba z CPP	150	19,00	2,85		3,85
	Omítka	15	20,00	0,30		0,41
	Stálé zatížení celkem G3			6,08	[kN/m ²]	8,21 [kN/m ²]

	G4 Skladba stropu 1.NP (stará část) - stávající stav					
	Položka	tloušťka [mm]	γ [kN/m ³]	$g_{3,ki}$ [kN/m ²]	γ_G	$g_{3,di}$ [kN/m ²]
STÁLÉ G4	Nášlapná vrstva (prkna)	35	6,00	0,21	1,35	0,28
	Dřevěné polštáře 110/60 po 1500 mm	4	6,00	0,03		0,04
	Zásyp	80	10,00	0,80		1,08
	Záklop z prken 2x 30	60	6,00	0,36		0,49
	Nosné trámy 200/240 po 500 mm	96	6,00	0,58		0,78
	Rákosníky 140/180 po 500 mm	50	6,00	0,30		0,41
	Zásyp	50	10,00	0,50		0,68
	Podbití z prken	40	6,00	0,24		0,32
	Omítka	20	20,00	0,40		0,54
	Stálé zatížení celkem G4			3,41	[kN/m ²]	4,61 [kN/m ²]

	G5 Skladba stropu 1.NP (stará část) - nový stav					
	Položka	tloušťka [mm]	γ [kN/m ³]	$g_{3,ki}$ [kN/m ²]	γ_G	$g_{3,di}$ [kN/m ²]
STÁLÉ G5	Nášlapná vrstva (dlažba)	15	26,00	0,39	1,35	0,53
	Hydroizolační stěrka	4	17,00	0,07		0,09
	Sádrokarton 2x 12,5 mm	25	6,00	0,15		0,20
	Dřevovláknitá deska tl. 2x 19 mm	38	2,30	0,09		0,12
	Sádrokarton 12,5 mm	12,5	6,00	0,08		0,10
	Suchý vyrovnávací podsyp	120	4,00	0,48		0,65
	Záklop z prken 2x 30	60	6,00	0,36		0,49
	Nosné trámy 200/240 po 500 mm	96	6,00	0,58		0,78
	Rákosníky 140/180 po 500 mm	50	6,00	0,30		0,41
	Podbití z prken	40	6,00	0,24		0,32
	Omítka	20	20,00	0,40		0,54
	SDK podhled			0,30		0,41
	Stálé zatížení celkem G5			3,43	[kN/m ²]	4,63 [kN/m ²]

STÁLÉ G6	G6 Skladba stropu 1.NP (výšková část) - stávající stav				
	Položka	tloušťka [mm]	γ [kN/m ³]	$g_{3,ki}$ [kN/m ²]	$g_{3,di}$ [kN/m ²]
	Nášlapná vrstva (dlažba)	48	26,00	1,25	1,68
	Záklop mezi trámy - prkna 2x 30 mm	60	6,00	0,36	0,49
	Trámy 140/165 po 740 mm	31	6,00	0,19	0,25
	Podbití z prken	28	6,00	0,17	0,23
	Omítka	20	20,00	0,40	0,54
Stálé zatížení celkem G6				2,36 [kN/m ²]	3,19 [kN/m ²]
STÁLÉ G7	G7 Skladba stropu 1.NP (výšková část) - nový stav				
	Položka	tloušťka [mm]	γ [kN/m ³]	$g_{3,ki}$ [kN/m ²]	$g_{3,di}$ [kN/m ²]
	Nášlapná vrstva (dlažba)	15	26,00	0,39	0,53
	Hydroizolační stěrka	4	17,00	0,07	0,09
	Sádrokarton 2x 12,5 mm	25	6,00	0,15	0,20
	Dřevovláknitá deska tl. 2x 19 mm	38	2,30	0,09	0,12
	Sádrokarton 12,5 mm	12,5	6,00	0,08	0,10
	Suchý vyrovnávací podsyp	60	4,00	0,24	0,32
	Záklop mezi trámy - prkna 2x 30 mm	60	6,00	0,36	0,49
	Trámy 140/165 po 740 mm	31	6,00	0,19	0,25
	Podbití z prken	28	6,00	0,17	0,23
	Omítka	20	20,00	0,40	0,54
	SDK podhled			0,40	0,54
Stálé zatížení celkem G7				2,53 [kN/m ²]	3,41 [kN/m ²]
STÁLÉ G8	G8 Skladba stropu 2.NP (stará část) - stávající stav				
	Položka	tloušťka [mm]	γ [kN/m ³]	$g_{3,ki}$ [kN/m ²]	$g_{3,di}$ [kN/m ²]
	Nášlapná vrstva (keramická dlažba)	60	22,00	1,32	1,78
	Zásyp	50	10,00	0,50	0,68
	Povaly 170/160 na sraz	160	6,00	0,96	1,30
	Podbití z prken	30	6,00	0,18	0,24
	Omítka	20	20,00	0,40	0,54
Stálé zatížení celkem G8				3,36 [kN/m ²]	4,54 [kN/m ²]
STÁLÉ G9	G9 Skladba stropu 2.NP (stará část) - nový stav				
	Položka	tloušťka [mm]	γ [kN/m ³]	$g_{3,ki}$ [kN/m ²]	$g_{3,di}$ [kN/m ²]
	Nášlapná vrstva (keramická dlažba)	60	22,00	1,32	1,78
	Zásyp	50	10,00	0,50	0,68
	Povaly 170/160 na sraz	160	6,00	0,96	1,30
	Podbití z prken	30	6,00	0,18	0,24
	Omítka	20	20,00	0,40	0,54
Stálé zatížení celkem G9				3,76 [kN/m ²]	5,08 [kN/m ²]

STÁLÉ G10	G10 Skladba stropu 1.NP (přízemní část) - nový stav					
	Položka	tloušťka [mm]	γ [kN/m ³]	$g_{3,ki}$ [kN/m ²]	γ_G	$g_{3,di}$ [kN/m ²]
	Nabetonávka	50	25,00	1,25	1,35	1,69
	Záklop z prken	30	6,00	0,18		0,24
	Zásyp	50	10,00	0,50		0,68
	Dřevěné trámy 120 x 160 po 0,5 m	38	6,00	0,23		0,31
	Podbití z prken	30	6,00	0,18		0,24
	Omítka	20	20,00	0,40		0,54
	Stálé zatížení celkem G10			2,74	[kN/m ²]	3,70 [kN/m ²]

STÁLÉ G12	G12 Skladba mezistropu nad sociálním zařízením					
	Položka	tloušťka [mm]	γ [kN/m ³]	$g_{1,ki}$ [kN/m ²]	γ_G	$g_{1,di}$ [kN/m ²]
	SDK záklop			0,40	1,35	0,54
	Zavěšený podhled SDK			0,40		0,54
	Technologie VZT (odhad)			0,20		0,27
	Stálé zatížení celkem G12			1,00	[kN/m ²]	1,35 [kN/m ²]

3.2 Proměnné zatížení

3.2.1 Užité zatížení

UŽITNÉ Q1

Q1

UŽITNÉ ZATÍŽENÍ BYT

kategorie zatížení:

A - obecně

stanovené použití:

plochy pro domácí a obytné činnosti, místnosti obytných budov a domů, místnosti a čekárny v nemocnicích, ložnice hotelů a nocleháren, kuchyně a toalety

Charakteristické zatížení celkem

$q_{1,k}$

1,50 [kN/m²]

$Q_{1,k}$

2,00 [kN]

1,50

$q_{1,d}$

2,25 [kN/m²]

$Q_{1,d}$

3,00 [kN]

Poznámka: q značí plošné zatížení, Q určuje hodnotu osamělého břemena soustředěného v kterémkoli jednom místě konstrukce na ploše 50x50 mm. Index "k" značí charakteristické a index "d" návrhové hodnoty zatížení.

UŽITNÉ Q2

Q2

UŽITNÉ ZATÍŽENÍ STŘECH

kategorie zatížení:

H

stanovené použití:

střechy nepřístupné s výjimkou běžné údržby, oprav, nátěrů a menších oprav

Charakteristické zatížení celkem

q_{3,k}

0,75 [kN/m²]

Q_{3,k}

1,00 [kN]

1,50

q_{3,d}

1,13 [kN/m²]

Q_{3,d}

1,50 [kN]

Poznámka: q značí plošné zatížení, Q určuje hodnotu osamělého břemena soustředěného v kterémkoli jednom místě konstrukce na ploše 50x50 mm. Index "k" značí charakteristické a index "d" návrhové hodnoty zatížení.

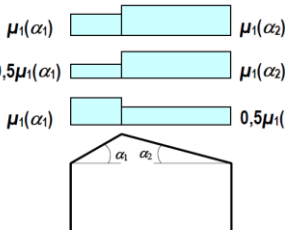
UŽITNÉ Q3	Q3	UŽITNÉ ZATÍŽENÍ NA SCHODIŠTI					
	kategorie zatížení:	A - schodiště					
	stanovené použití:	schodiště v obytných domech, nemocnicích, hotelech a nocleháren apod.					
	Charakteristické zatížení celkem	$q_{4,k}$	3,00 [kN/m²]	1,50	$q_{4,d}$	4,50 [kN/m²]	
		$Q_{4,k}$	3,00 [kN]		$Q_{4,d}$	4,50 [kN]	
Poznámka: q značí plošné zatížení, Q určuje hodnotu osamělého břemena soustředěného v kterémkoli jednom místě konstrukce na ploše 50x50 mm. Index "k" značí charakteristické a index "d" návrhové hodnoty zatížení.							

UŽITNÉ Qp	Qp	PŘEMÍSTITELNÉ PŘÍČKY					
	kategorie zatížení:	příčky 2					
	stanovené použití:	přemístitelné příčky do 2,0 kN/m délky příčky					
	Charakteristické zatížení celkem	$q_{p,k}$	0,80 [kN/m²]	1,50	$q_{p,d}$	1,20 [kN/m²]	
Poznámka: v případě, že konstrukce neumožňuje příčné rozdělení napětí nebo v případě těžších příček než 3,0 kN/m délky je zatížení příčkami uvažováno podle skutečné hmotnosti, polohy a směru příček a podle druhu stropní konstrukce. Index "k" značí charakteristické a index "d" návrhové hodnoty zatížení.							

3.2.2 Zatížení sněhem

SNÍH S1

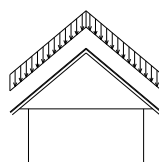
S1		SNÍH NA STŘEŠE	
Lokalita:	Jaroměř	II . sněhová oblast	
s_k	1,00 kN/m²	.. Charakteristické zatížení sněhem na zemi	
α_1	58 °	.. Sklon střechy 1	
α_2	58 °	.. Sklon střechy 2	
$\mu_1 (\alpha_1)$	0,05	.. Tvarový součinitel střechy 1	
$\mu_1 (\alpha_2)$	0,05	.. Tvarový součinitel střechy 2	
C_e	1,00	.. Součinitel expozice - normální typ krajiny	
C_t	1,00	.. Tepelný součinitel	



$$s = \mu_i C_e C_t s_k$$

$s_{1,k1} (0,5\mu_1)$	0,03 [kN/m²]	1,50	$s_{1,d1} (0,5\mu_1)$	0,04 [kN/m²]		
$s_{1,k1} (\mu_1)$	0,05 [kN/m²]		$s_{1,d1} (\mu_1)$	0,08 [kN/m²]		
$s_{1,k2} (0,5\mu_1)$	0,03 [kN/m²]	1,50	$s_{1,d2} (0,5\mu_1)$	0,04 [kN/m²]		
$s_{1,k2} (\mu_1)$	0,05 [kN/m²]		$s_{1,d2} (\mu_1)$	0,08 [kN/m²]		

Poznámka: Zatížení je vztaženo na půdorysný průmět střechy, tj. do vodorovné roviny. Index "k" značí charakteristické a index "d" návrhové hodnoty zatížení.

Přepočet do působení ve sklonu střechy		$s_{1,k1} (0,5\mu_1)$	0,01 [kN/m²]	1,50	$s_{1,d1} (0,5\mu_1)$	0,02 [kN/m²]
		$s_{1,k1} (\mu_1)$	0,03 [kN/m²]		$s_{1,d1} (\mu_1)$	0,04 [kN/m²]
		$s_{1,k2} (0,5\mu_1)$	0,01 [kN/m²]	1,50	$s_{1,d2} (0,5\mu_1)$	0,02 [kN/m²]
		$s_{1,k2} (\mu_1)$	0,03 [kN/m²]		$s_{1,d2} (\mu_1)$	0,04 [kN/m²]



Rekonstrukce výpravní budovy žst. Jaroměř

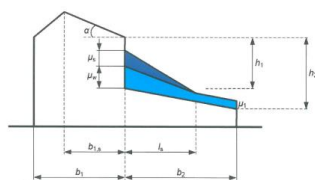
S8 SNÍH NA STŘEŠE SOUSEDÍCÍ A PŘILÉHAJÍCÍ K VYŠŠÍM STAVBÁM

Lokalita: **Jaroměř**

II . sněhová oblast

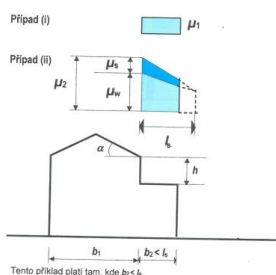
s_k	1,00 kN/m ²	.. Charakteristické zatížení sněhem na zemi
α_1	10 °	.. Sklon střechy nižší
α_2	40 °	.. Sklon střechy vyšší
$\mu_1 (\alpha_1)$	0,80	.. Tvarový součinitel střechy nižší
$\mu_1 (\alpha_2)$	0,53	.. Tvarový součinitel střechy vyšší
h	3,80 m	.. Výška střech
b_1	13,50 m	.. Šířka vyšší stavby
b_{1s}	7,00 m	.. Šířka části střechy vyšší stavby nad nižší
b_2	7,30 m	.. Šířka nižší stavby
γ	2,00 kN/m ³	.. Objemová tíha sněhu
l_s	7,60	.. Délka návěje
μ_s	0,71	.. Tvarový součinitel sesuvu sněhu z horní střechy
μ_w	2,00	.. Tvarový součinitel zohledňující působení větru
μ_2	2,71	.. Výsledný tvarový součinitel zohledňující působení větru
C_e	1,00	.. Součinitel expozice - normální typ krajiny
C_t	1,00	.. Tepelný součinitel

SNÍH S8



$$s = \mu_i C_e C_t s_k$$

$s_{1,k1} (\mu_1)$	0,80 [kN/m ²]	1,50	$s_{1,d1} (\mu_1)$	1,20 [kN/m ²]
$s_{2,k2} (\mu_2)$	2,71 [kN/m ²]		$s_{2,d2} (\mu_2)$	4,07 [kN/m ²]



$s_{1,k2} (\mu_1)$	0,80 [kN/m ²]	1,50	$s_{1,d2} (\mu_1)$	1,20 [kN/m ²]
$s_{1,k2} (\mu_{2b2})$	0,88 [kN/m ²]		$s_{2,d2} (\mu_{2b2})$	1,31 [kN/m ²]
$s_{2,k2} (\mu_2)$	2,71 [kN/m ²]		$s_{2,d2} (\mu_2)$	4,07 [kN/m ²]

Tento příklad platí tam, kde $b_2 < l_s$

3.2.3 Zatížení větrem

PROMĚNNÉ ZATÍŽENÍ: VÍTR

ČSN EN 1991 - Zatížení konstrukcí

Část 1-4: Obecná zatížení - Zatížení větrem

W1 VÍTR NA STŘECHU OBJEKTU

Lokalita: **Jaroměř**

větrová oblast: **II**

kategorie terénu: **III**

výchozí základní rychlost větru $v_{0,b} = 25,0$ m/s

referenční výška $z = 7,6$ m

součinitel směru větru $c_{dir} = 1,0$

součinitel expozice $c_e(z) = 1,53$

součinitel ročního období $c_{season} = 1,0$

základní rychlost větru $v_b = c_{dir} \cdot c_{season} \cdot v_{0,b} = 25,0$ m/s

rozměry objektu: $b = 36,0$ m $\alpha = 18,3^\circ$

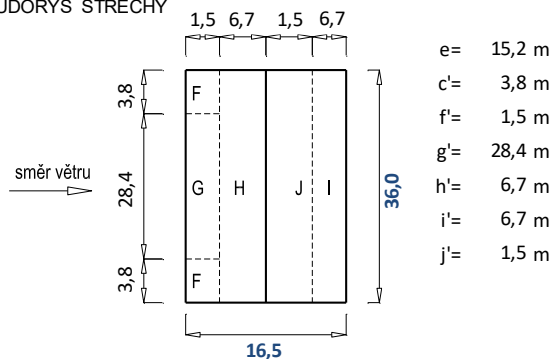
měrná hmotnost vzduchu $r = 1,25$ kg/m³

$d = 16,5$ m

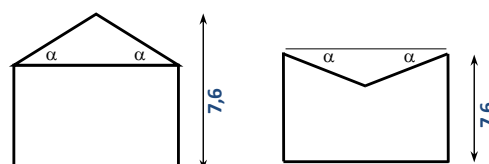
základní dynamický tlak větru $q_b = 1/2 \cdot r \cdot v_b^2 = 390,6$ N/m²

$h = 7,6$ m

PŮDORYS STŘECHY

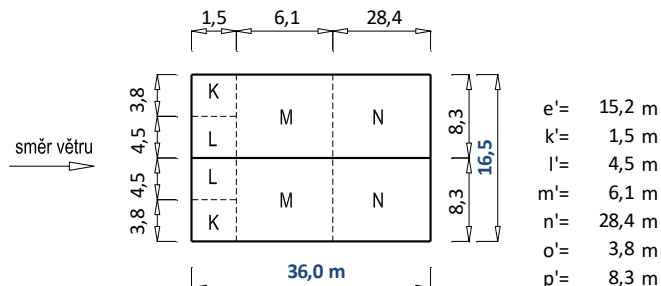


POHLED NA ŠTÍT



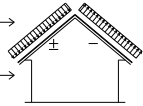
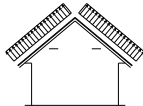
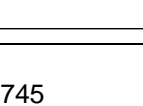
hodnoty zatížení větrem	oblast F			oblast G			oblast H			oblast I			oblast J		
	plocha [m ²]	c_{pe}	$w_{e,k}$ [kN/m ²]	plocha [m ²]	c_{pe}	$w_{e,k}$ [kN/m ²]	plocha [m ²]	c_{pe}	$w_{e,k}$ [kN/m ²]	plocha [m ²]	c_{pe}	$w_{e,k}$ [kN/m ²]	plocha [m ²]	c_{pe}	$w_{e,k}$ [kN/m ²]
maximum	6,084	0,31	0,186	45,47	0,31	0,186	255,2	0,244	0,146	255,2	0	0,000	57,63	0	0,000
minimum		-1,045	-0,626		-0,734	-0,440		-0,278	-0,167		-0,4	-0,240		-0,89	-0,533

POZNÁMKA: ZÁPORNÉ ZNAMÉNKO ZNAČÍ SÁNÍ VĚTRU, PŘI VÝPOČTU VNITŘNÍCH SIL JSOU V KAŽDÉ OBLASTI UVÁŽENY OBĚ HODNOTY ZATÍŽENÍ VĚTREM



hodnoty zatížení větrem	oblast K			oblast L			oblast M			oblast N		
	plocha [m ²]	c_{pe}	$w_{e,k}$ [kN/m ²]	plocha [m ²]	c_{pe}	$w_{e,k}$ [kN/m ²]	plocha [m ²]	c_{pe}	$w_{e,k}$ [kN/m ²]	plocha [m ²]	c_{pe}	$w_{e,k}$ [kN/m ²]
	6,084	-1,393	-0,835	7,124	-1,422	-0,852	52,83	-0,644	-0,386	246,8	-0,5	-0,300

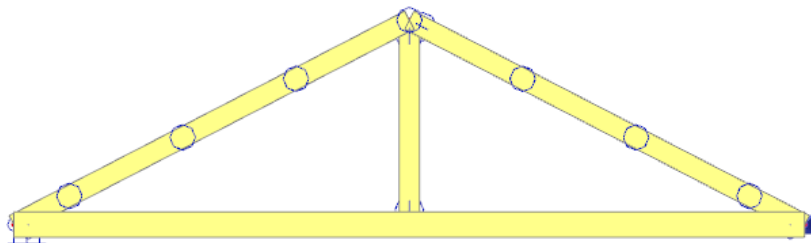
POZNÁMKA: ZÁPORNÉ ZNAMÉNKO ZNAČÍ SÁNÍ VĚTRU

Zprůměrované hodnoty zatížení větrem na sedlovou střechu		Návětrná strana	$w_{n,max,k}$	0,154 [kN/m ²]	1,50	$w_{n,max,d}$	0,230 [kN/m ²]
		příčný vítr	$w_{n,min,k}$	-0,224 [kN/m ²]		$w_{n,min,d}$	-0,336 [kN/m ²]
		Závětrná strana	$w_{z,max,k}$	0,000 [kN/m ²]	1,50	$w_{z,max,d}$	0,000 [kN/m ²]
		příčný vítr	$w_{z,min,k}$	-0,294 [kN/m ²]		$w_{z,min,d}$	-0,441 [kN/m ²]
		Podélný vítr	$w_{p,k}$	-0,337 [kN/m ²]	1,50	$w_{p,d}$	-0,506 [kN/m ²]

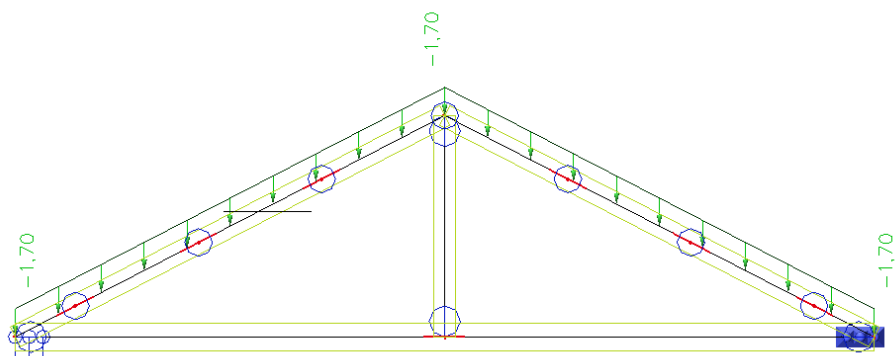
4. POSOUZENÍ

4.1 Konstrukce krovu nad nejstarší částí – rizality

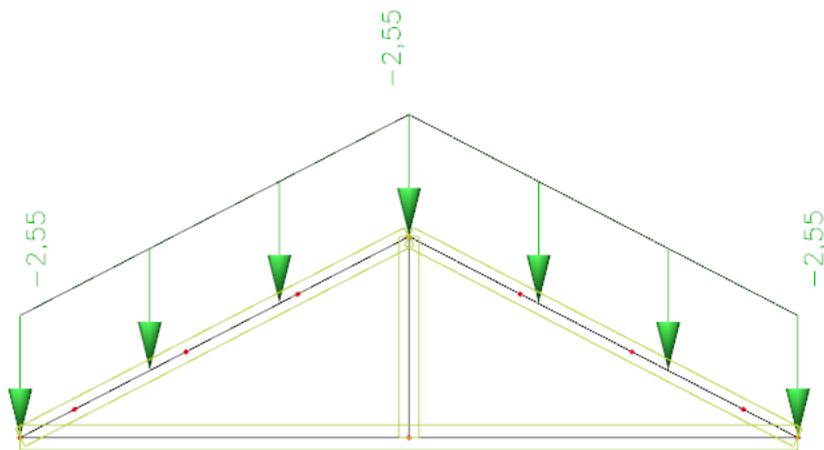
4.1.1 2D model



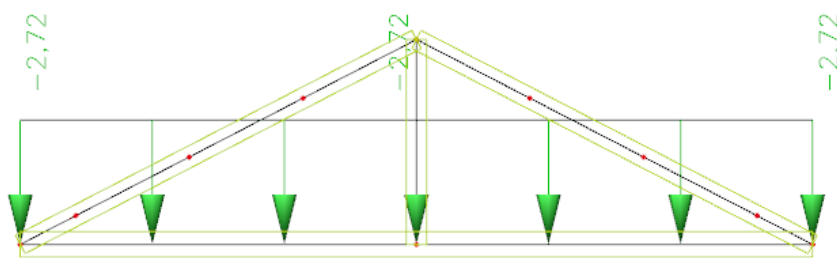
4.1.2 Ostatní stálé zatížení



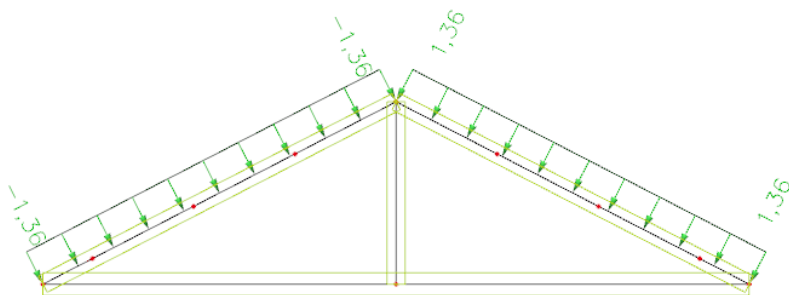
4.1.3 Užitné zatížení



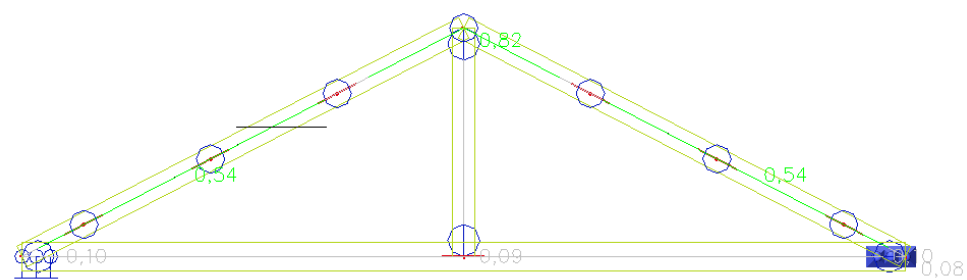
4.1.4 Zatížení sněhem



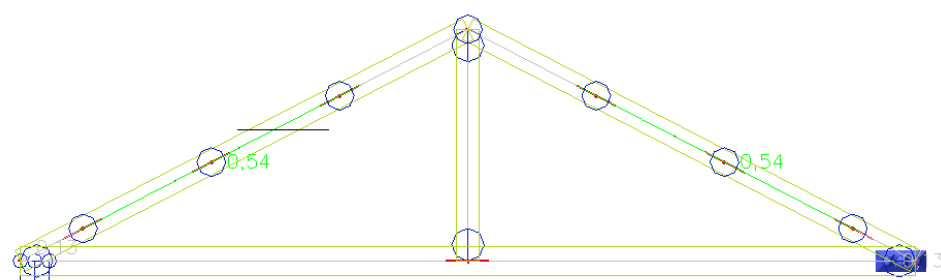
4.1.5 Zatížení větrem



4.1.6 Posouzení MSÚ

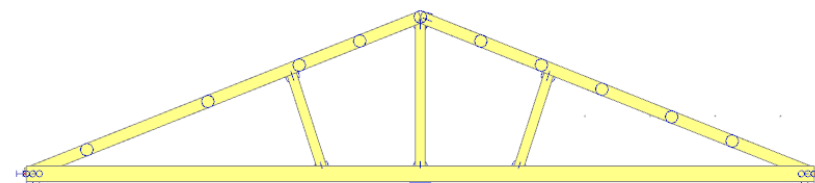


4.1.7 Posouzení MSP

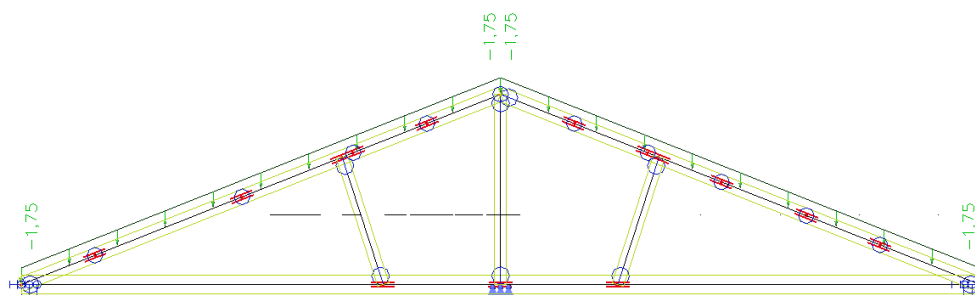


4.2 Konstrukce krovu nad nejstarší částí – hlavní část

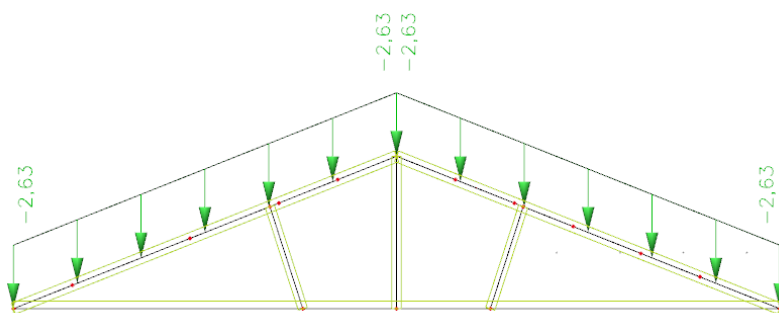
4.2.1 2D model



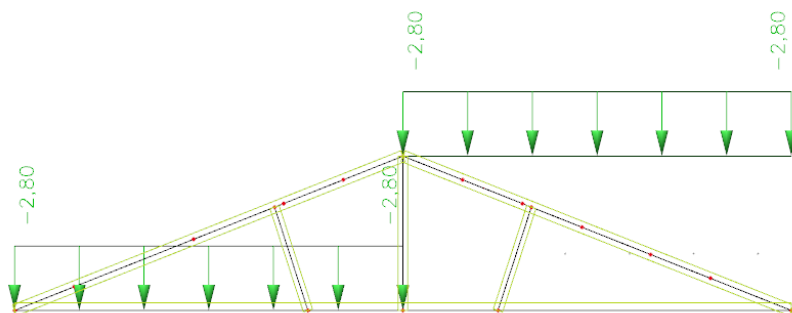
4.2.2 Ostatní stálé zatížení



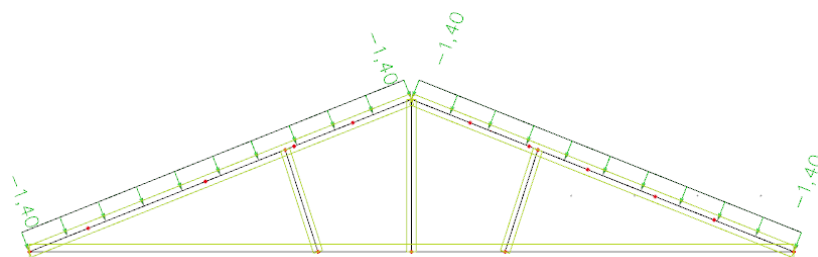
4.2.3 Užitné zatížení



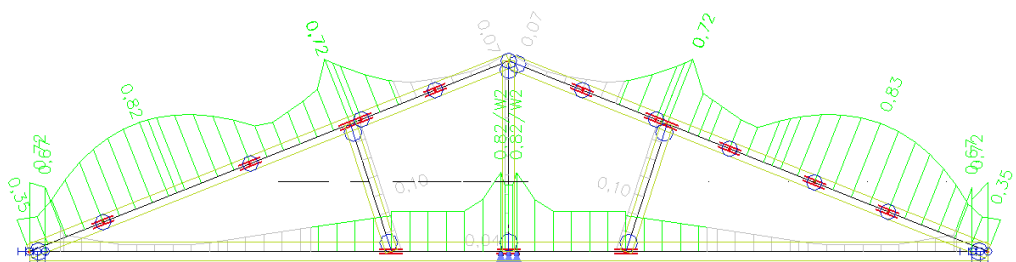
4.2.4 Zatížení sněhem



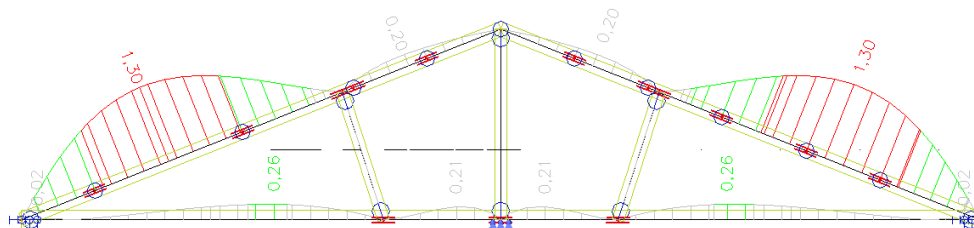
4.2.5 Zatížení větrem



4.2.6 Posouzení MSÚ



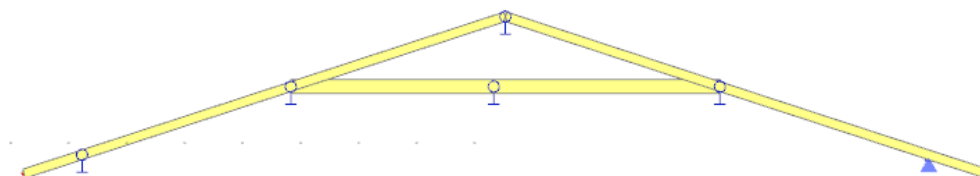
4.2.7 Posouzení MSP



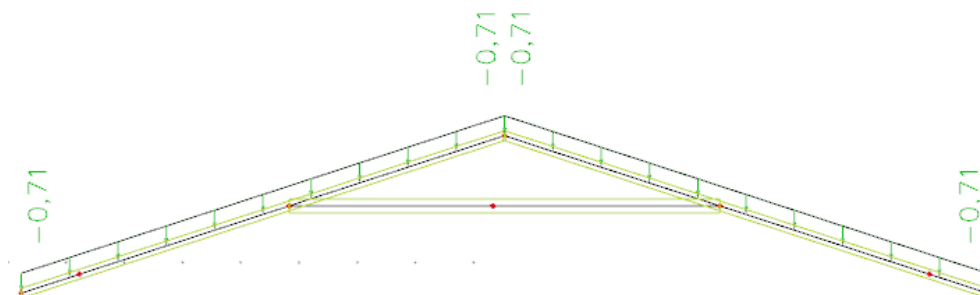
Konstrukce nevyhovuje podle současných požadavků na finální průhyb. Vzhledem k tomu, že se jedná o stávající konstrukci. Průhyb na krokvi odpovídá 1/240 rozpětí. Obvykle se obdobné konstrukce navrhuje na 1/200. V absolutní hodnotě činí vypočtená hodnota finálního průhybu 18 mm. Vzhledem k tomu, že se jedná o stávající konstrukci a nedochází k přitížení konstrukce, je tato hodnota akceptovatelná.

4.3 Konstrukce krovu přízemní části

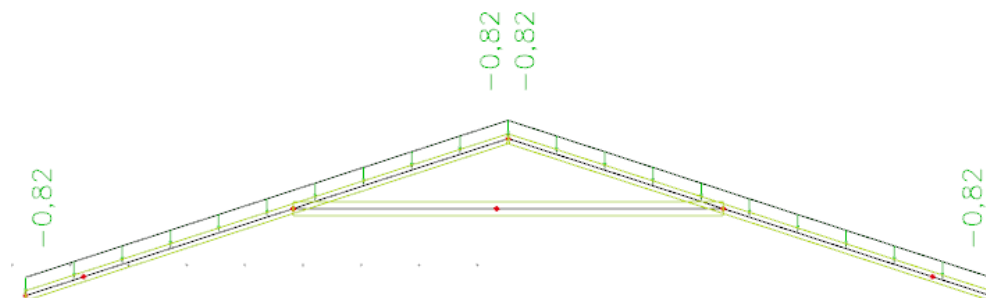
4.3.1 2D model



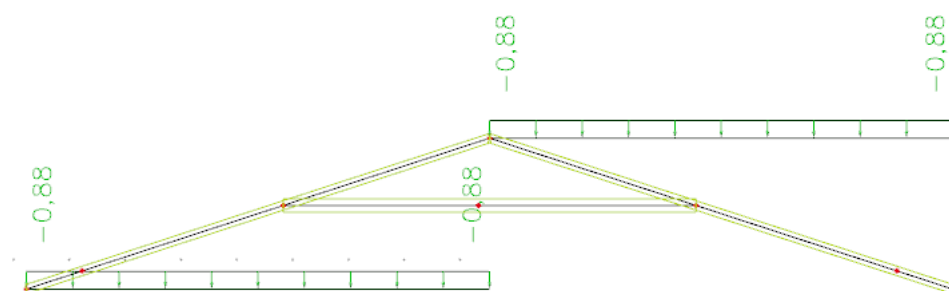
4.3.2 Ostatní stálé zatížení



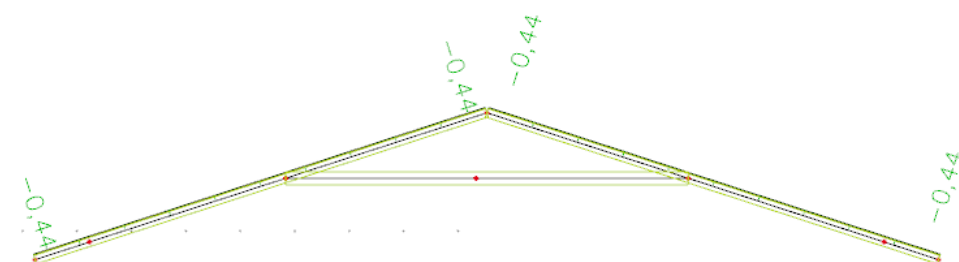
4.3.3 Užitné zatížení



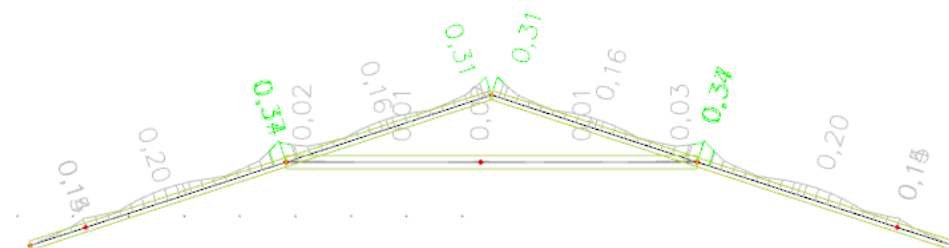
4.3.4 Zatížení sněhem



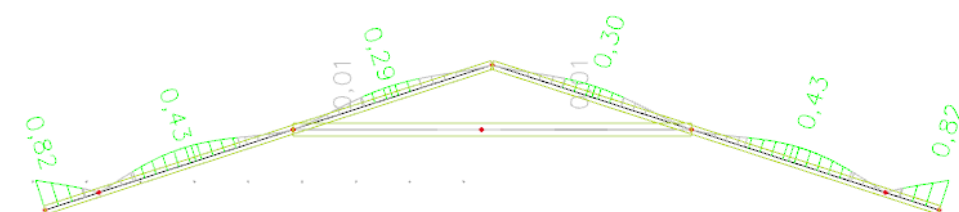
4.3.5 Zatížení větrem



4.3.6 Posouzení MSÚ

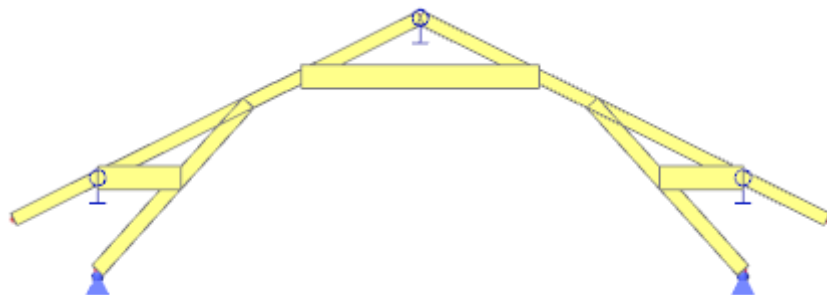


4.3.7 Posouzení MSP

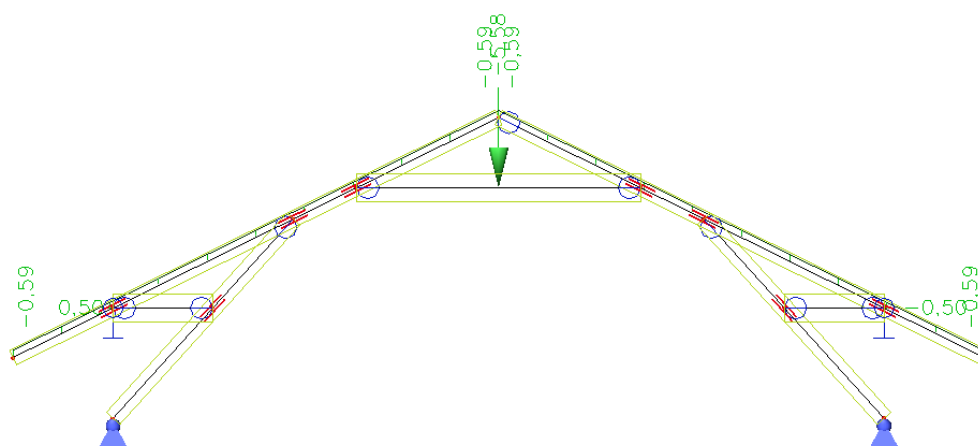


4.4 Konstrukce krovu výškové části

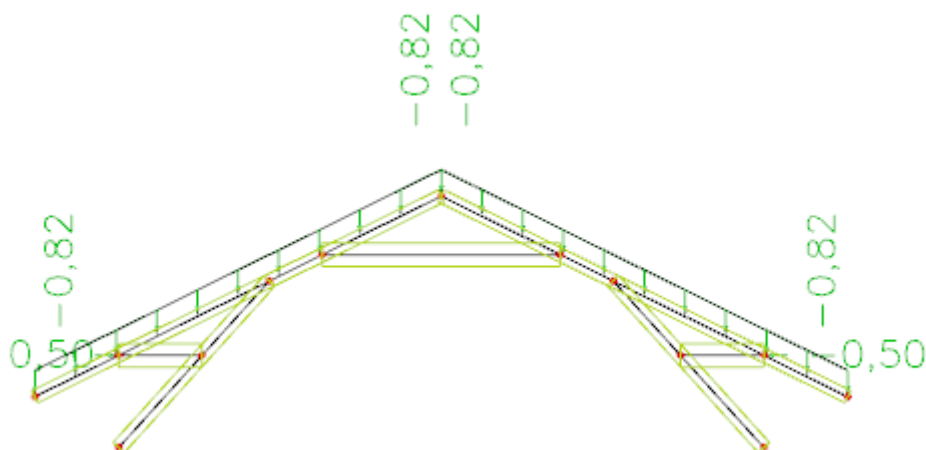
4.4.1 2D model



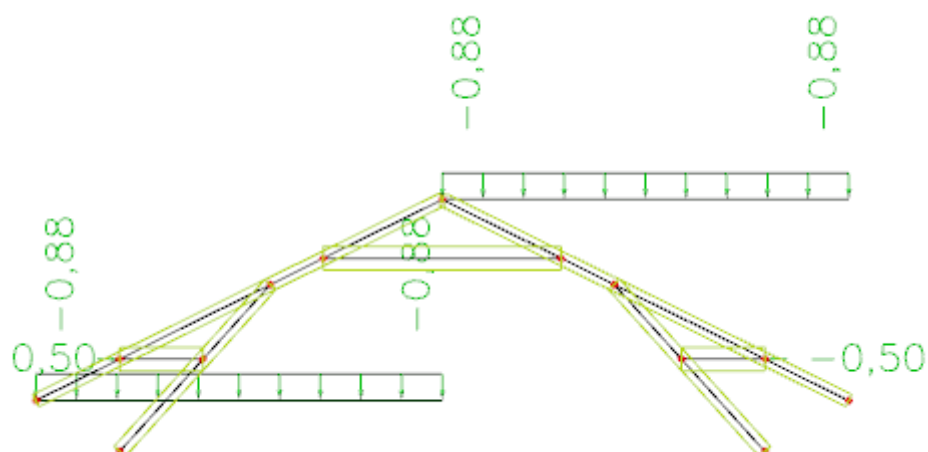
4.4.2 Ostatní stálé zatížení



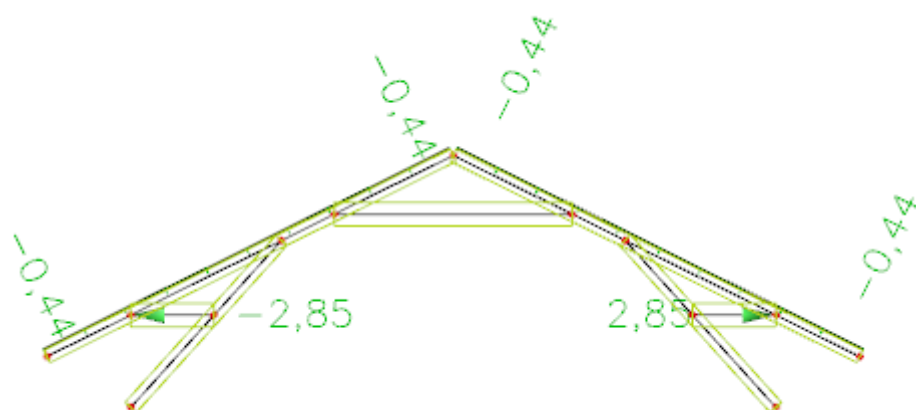
4.4.3 Užiténé zatížení



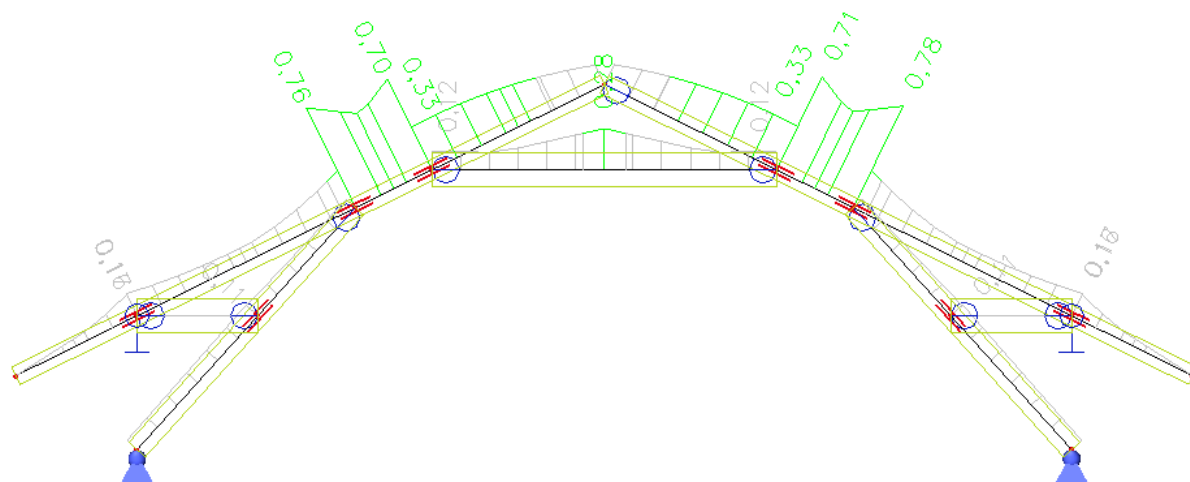
4.4.4 Zatížení sněhem



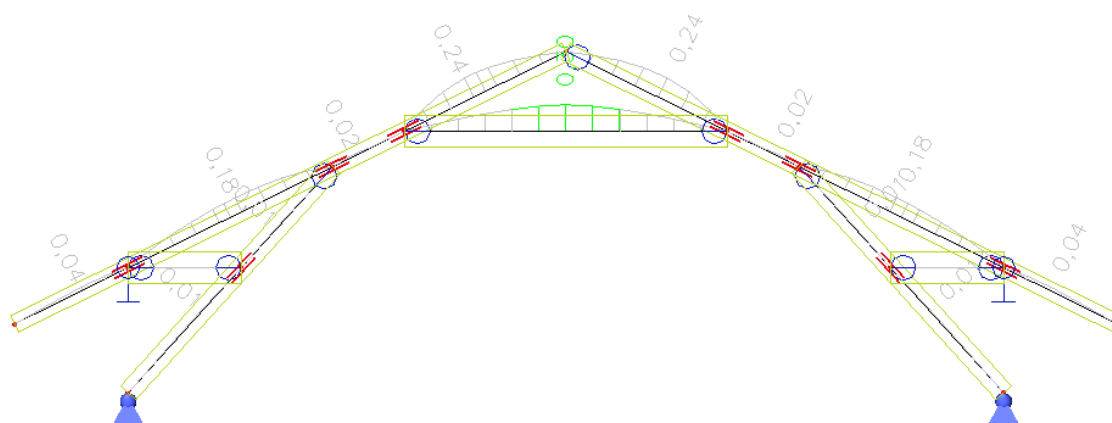
4.4.5 Zatížení větrem



4.4.6 Posouzení MSÚ

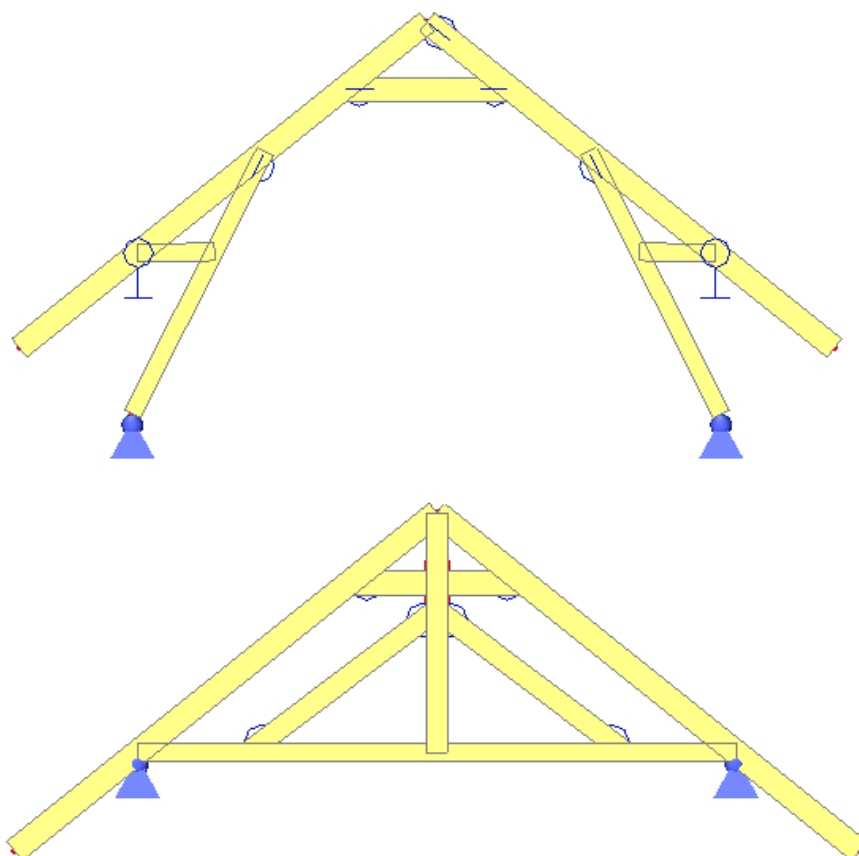


4.4.7 Posouzení MSP

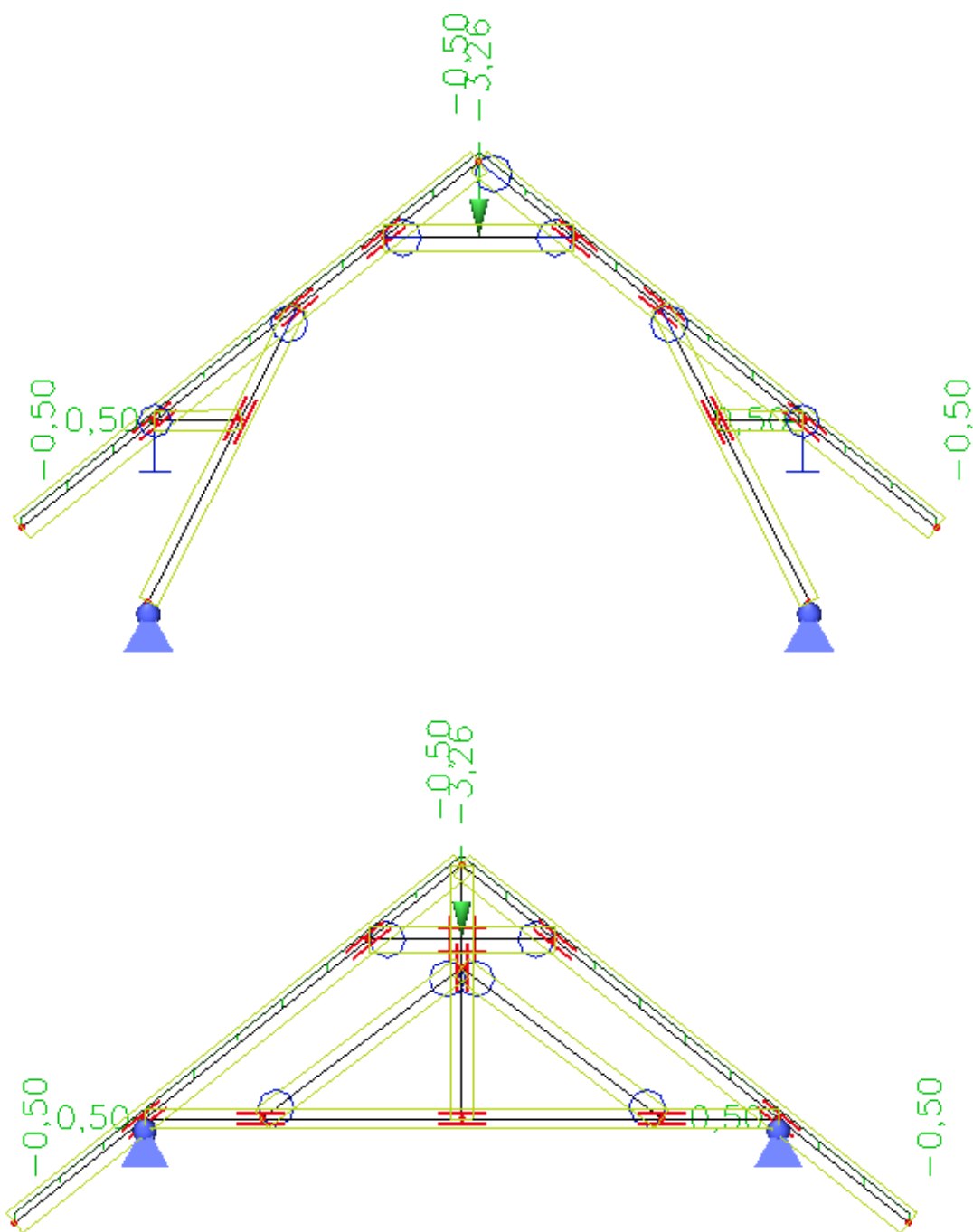


4.5 Konstrukce krovu severozápadního a severovýchodního křídla

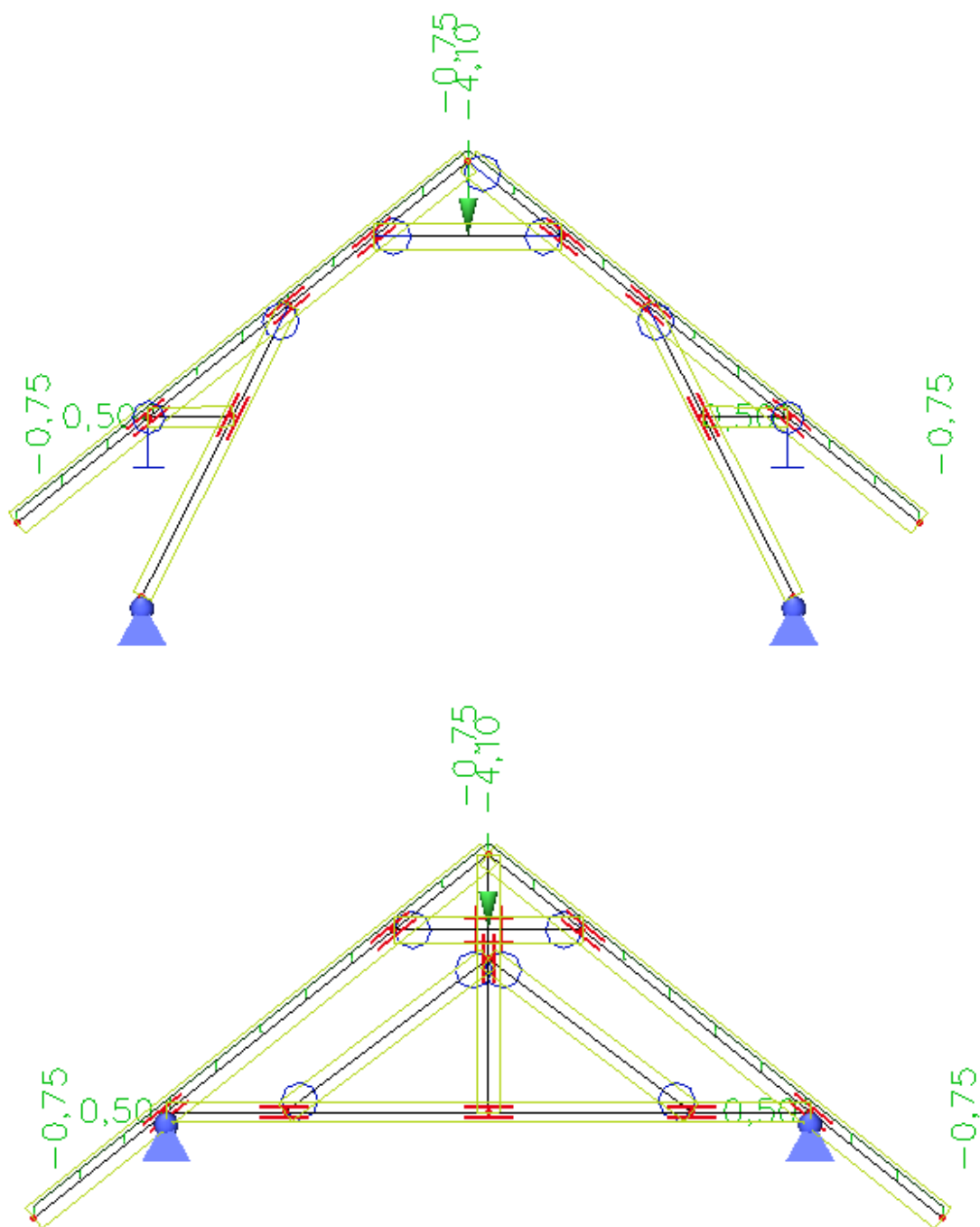
4.5.1 2D model



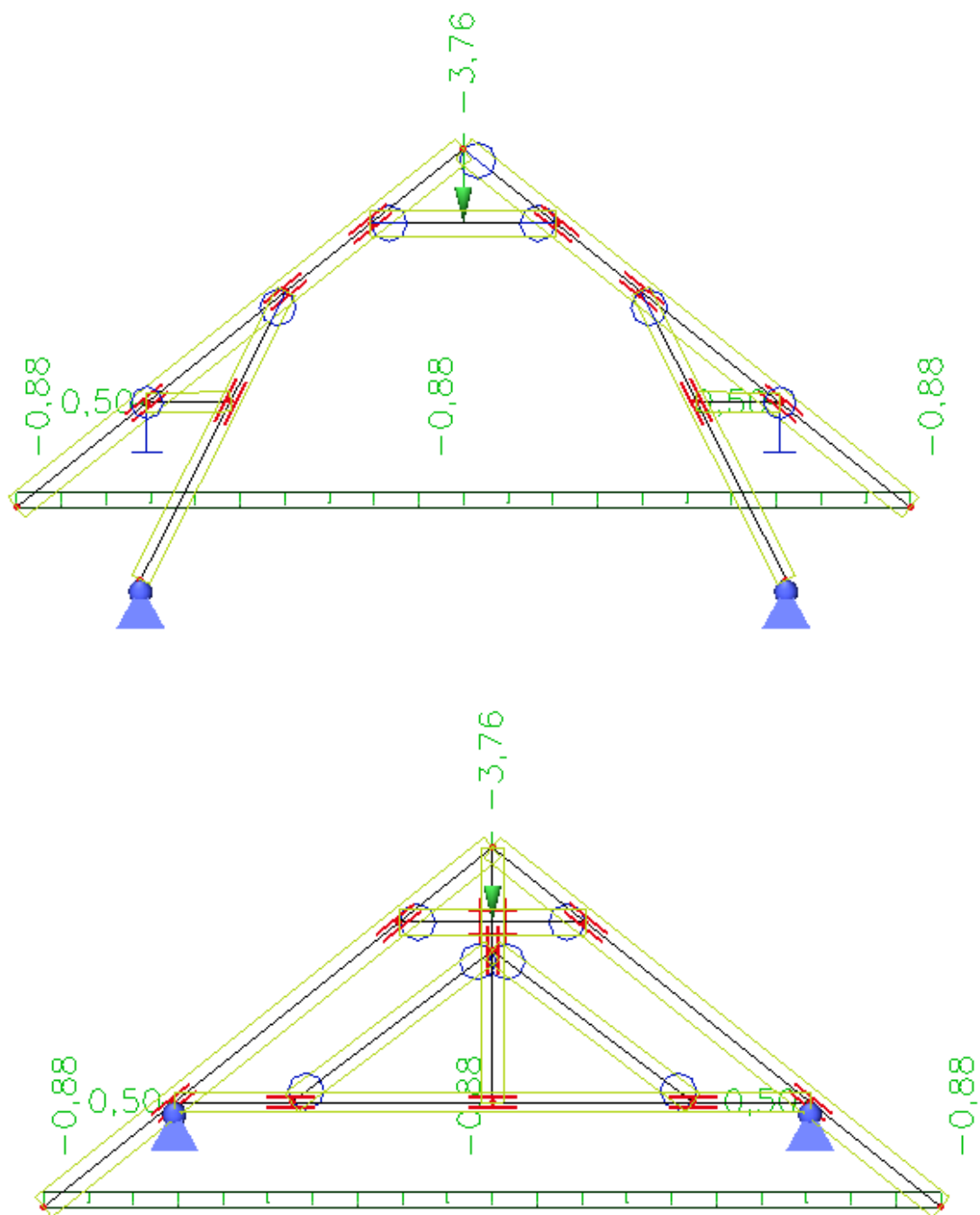
4.5.2 Ostatní stálé zatížení



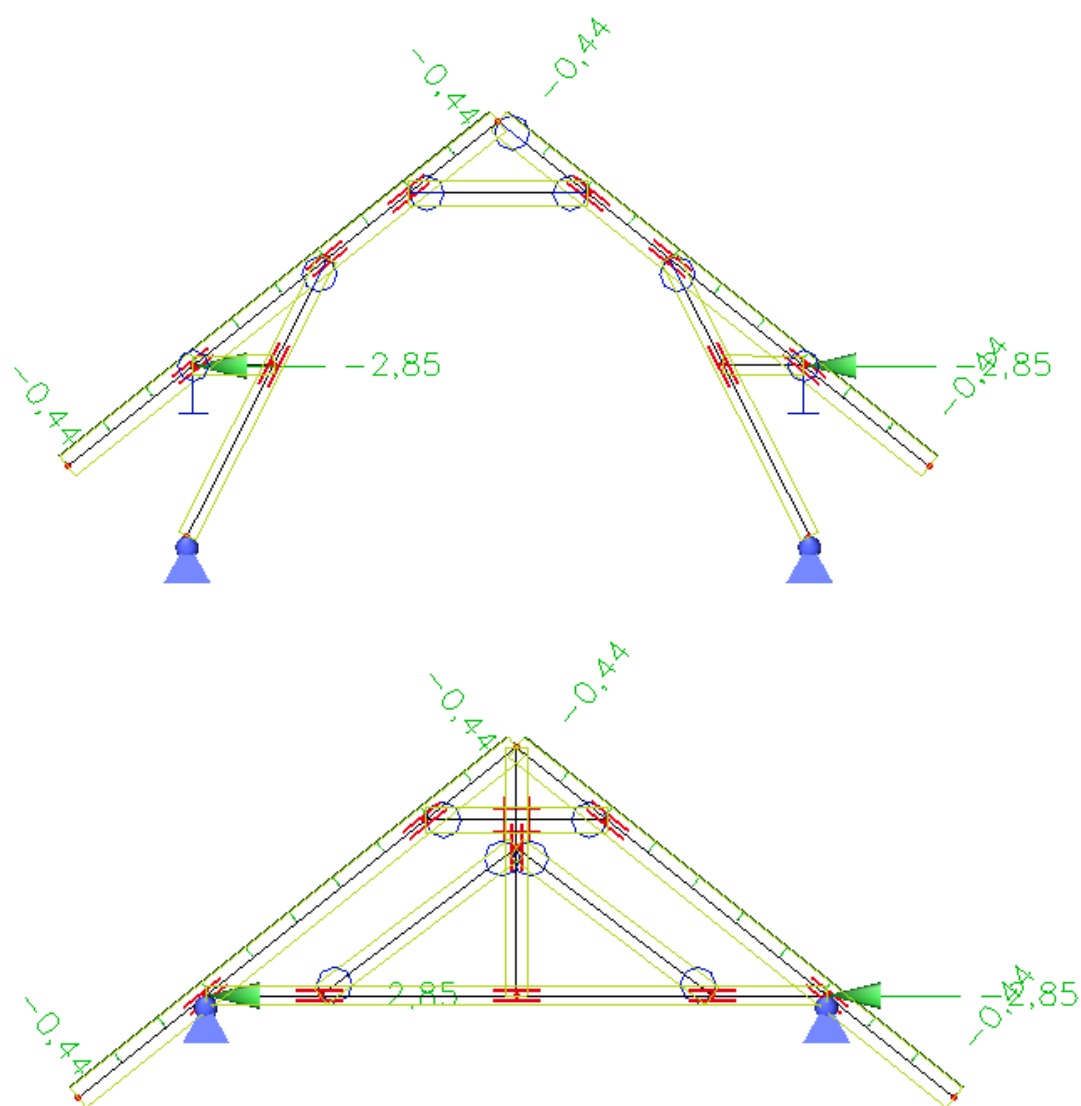
4.5.3 Užitné zatížení



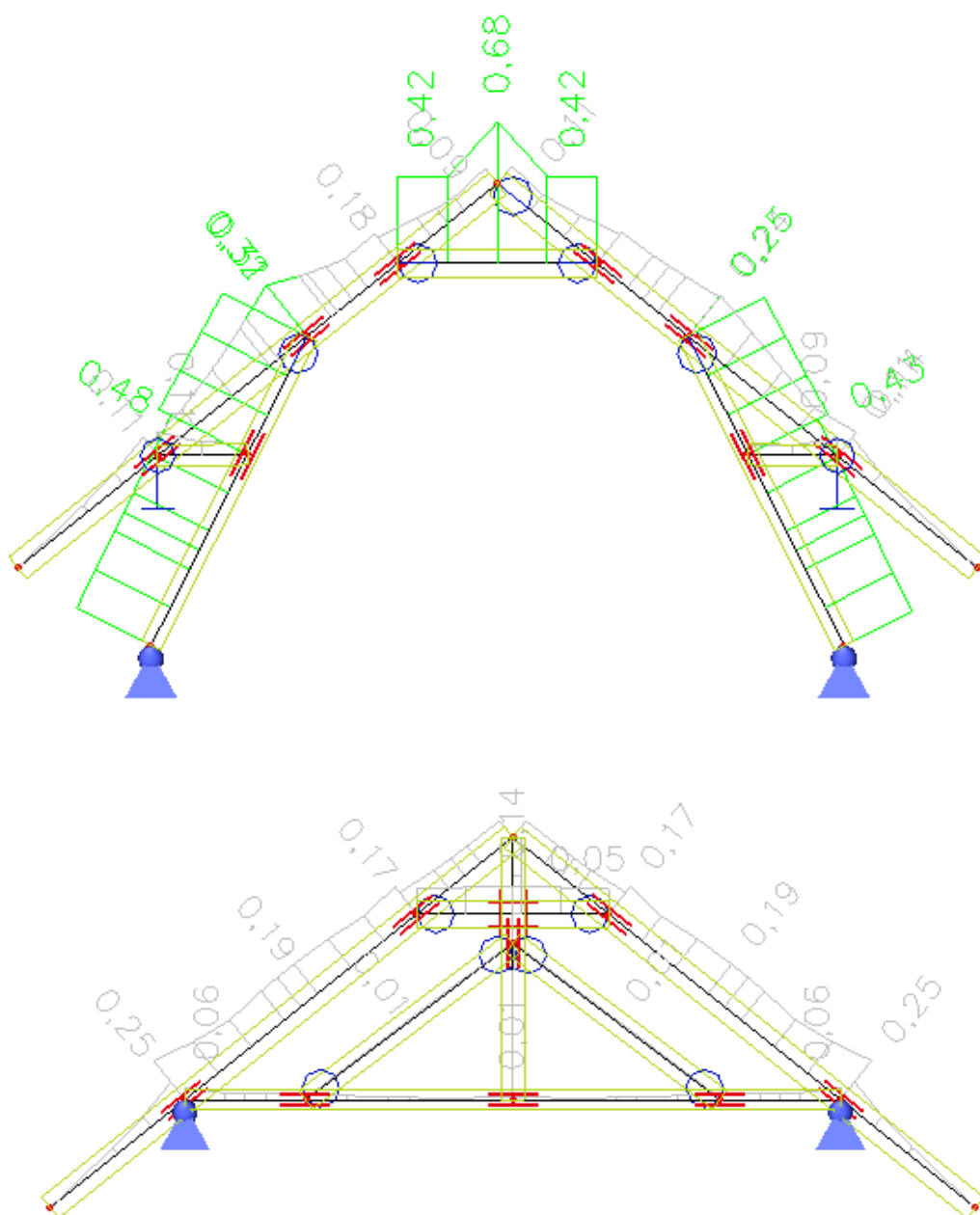
4.5.4 Zatížení sněhem



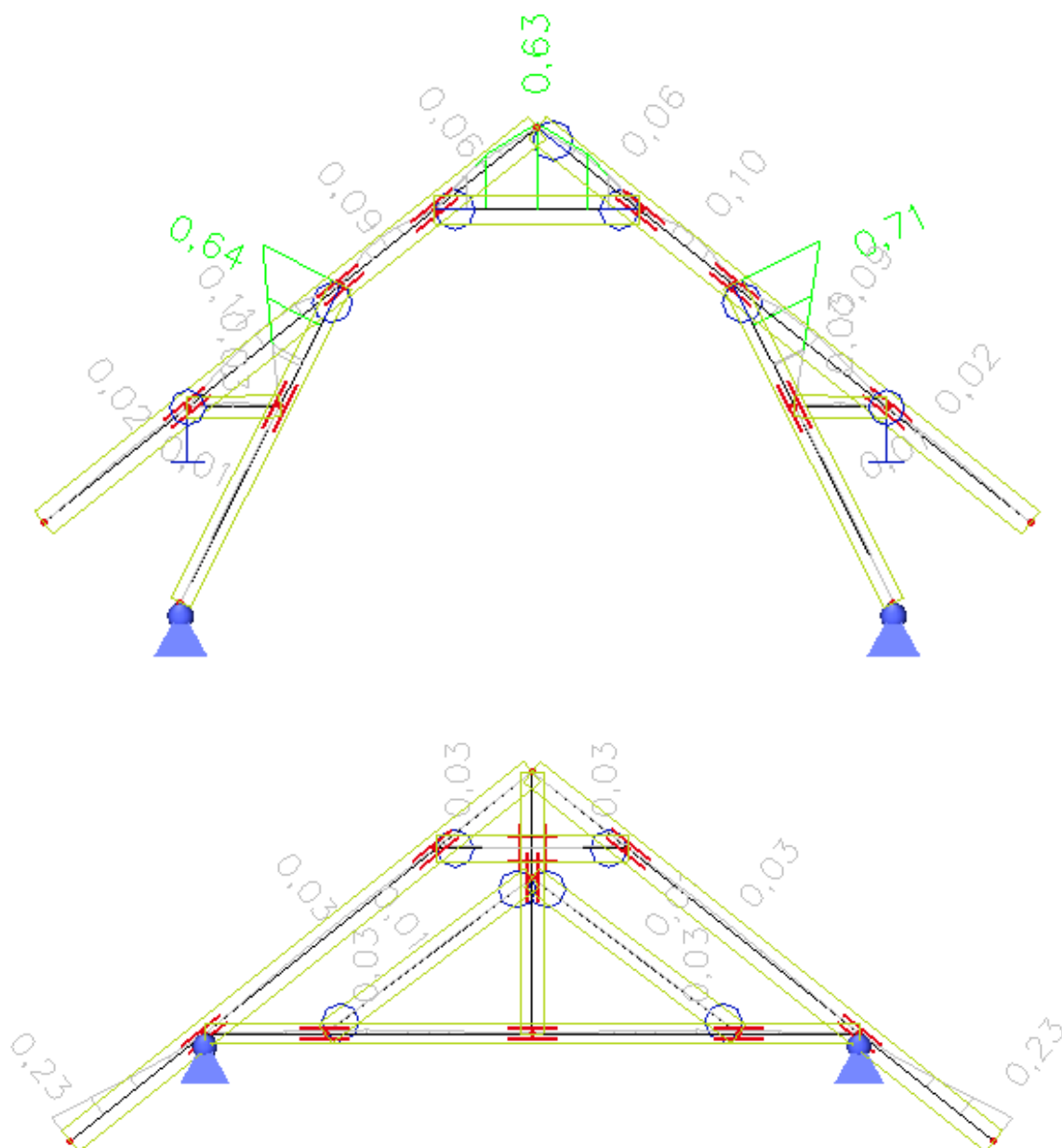
4.5.5 Zatížení větrem



4.5.6 Posouzení MSÚ



4.5.7 Posouzení MSP



4.6 Posouzení průvlaku v místě bouraného otvoru v přízemní části

V místě bourání otvoru do nosné stěny je navržen průvlak tvořený čtveřicí ocelových profilů IPE 240.

Podchycení stěny

typ: ocelový prostý nosník

Parametry prutu:

OCEL	S235	$f_{yk} =$	235 MPa
Průřez:	IPE 240 x 4	$E =$	210 GPa

I_y	$38,92 \times 10^6 \text{ mm}^4$	
W_y	$324,30 \times 10^3 \text{ mm}^3$	
L	4,73 m	.. rozpětí
$w_{pož}$	$L / 400$.. požadovaný max. průhyb

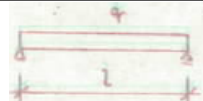
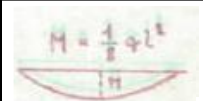
Zatížení:

f_k	13,82 kN/m	.. spojité charakteristické zatížení
F_k	0 kN	.. charakteristická bodová síla
f_d	18,73 kN/m	.. spojité návrhové zatížení
F_d	0 kN	.. návrhová bodová síla

POSOUZENÍ - MSP

využití: 92,9%

M_k^n	38,56 kNm	.. charakteristický ohybový moment dle schématu
α	0,04960	.. pomocný součinitel pro výpočet průhybu, obsahuje $E=210\text{GPa}$

SCHÉMA	MOM. OBRAZEC	M_{\max}	α	I_{\min}
		[kNm]	$[10^{-13}/\text{Pa}]$	$\times 10^6 [\text{mm}^4]$
		38,56	0,04960	3,615

$I_{y,prov}$	$38,92 \times 10^6 \text{ mm}^4$.. moment setrvačnosti navrženého profilu
w	11,0 mm	.. skutečný pružný průhyb

$w_{pož} =$	11,8 mm	$>$	$w =$	11,0 mm	VYHOVUJE
-------------	---------	-----	-------	---------	-----------------

POSOUZENÍ - MSÚ

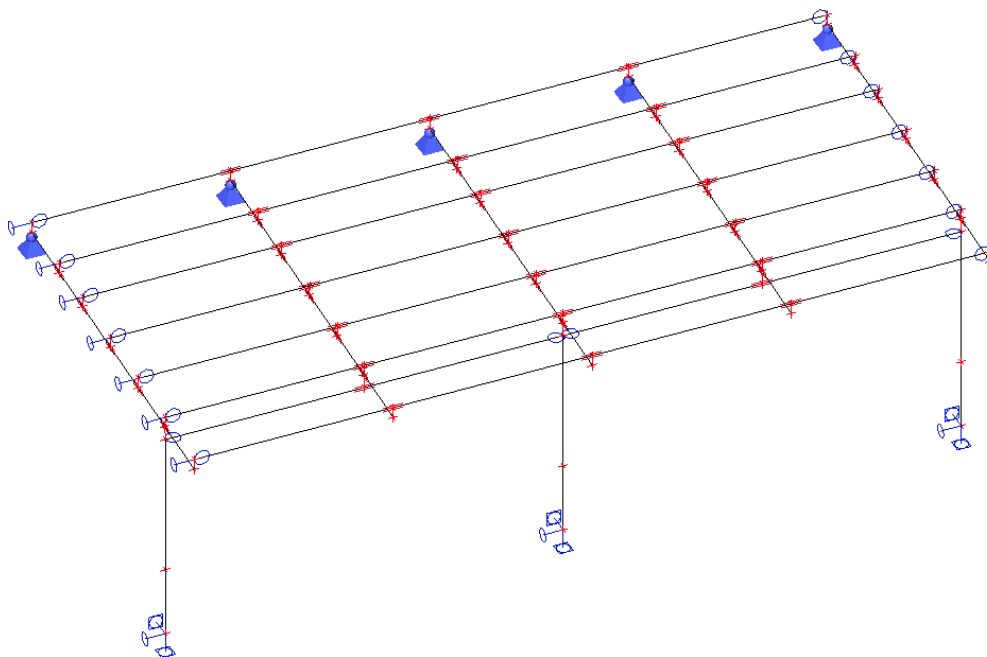
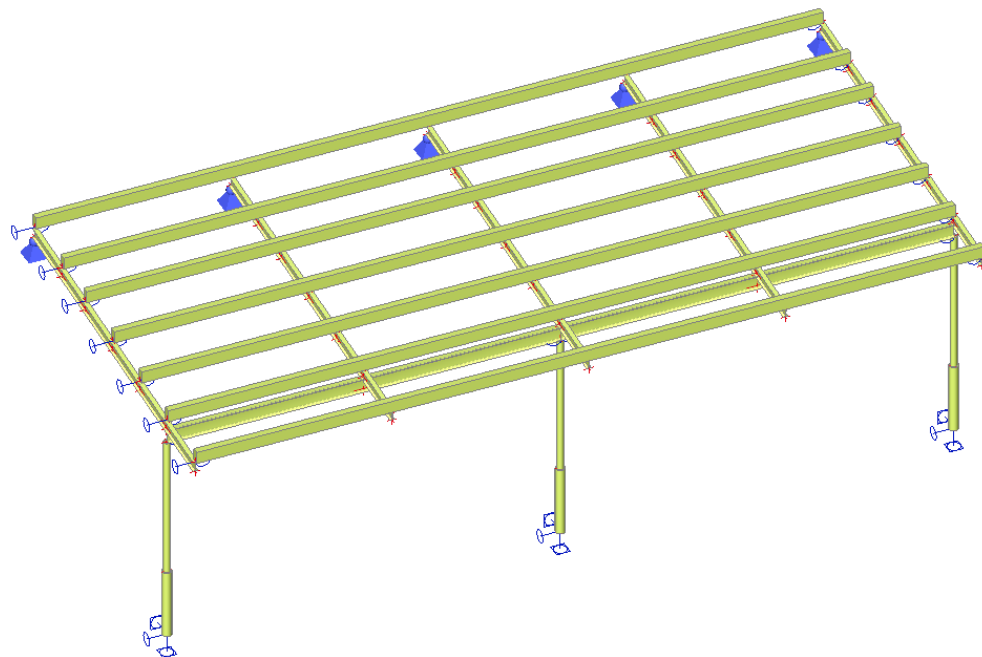
využití: 68,6%

M_d^n	52,27 kNm	.. návrhový ohybový moment dle schématu
---------	-----------	---

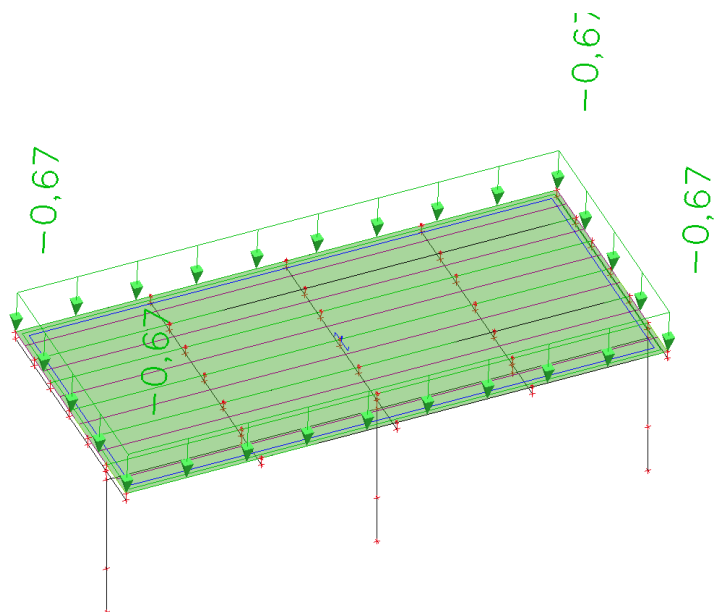
$\sigma =$	161,2 MPa	$<$	$f_{yd} =$	235 MPa	VYHOVUJE
------------	-----------	-----	------------	---------	-----------------

4.7 Posouzení zastřešení nástupiště

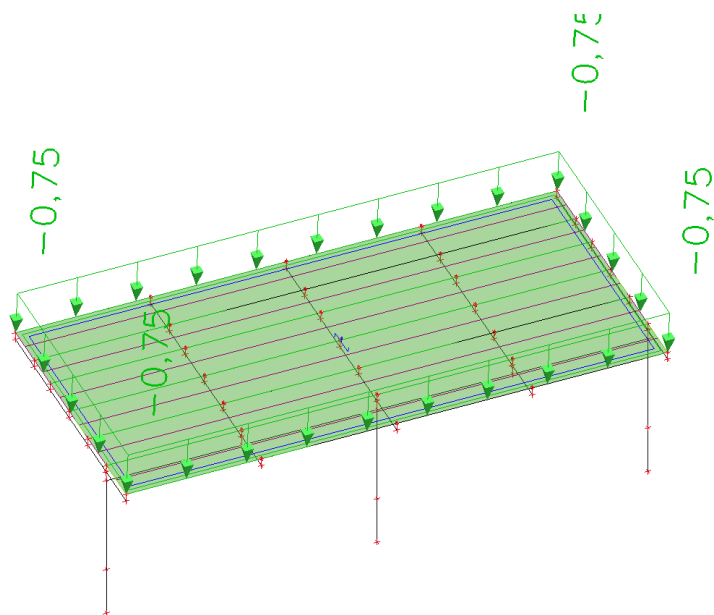
4.7.1 3D model



4.7.2 Ostatní stálé zatížení

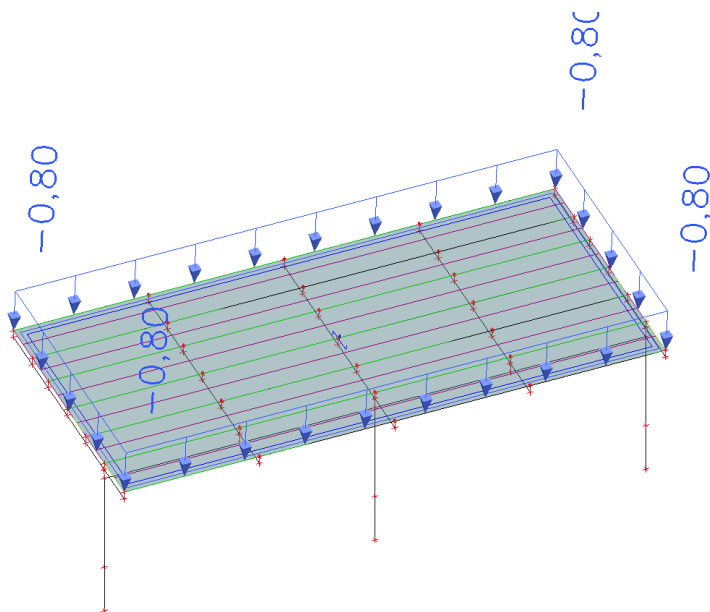


4.7.3 Užitné zatížení



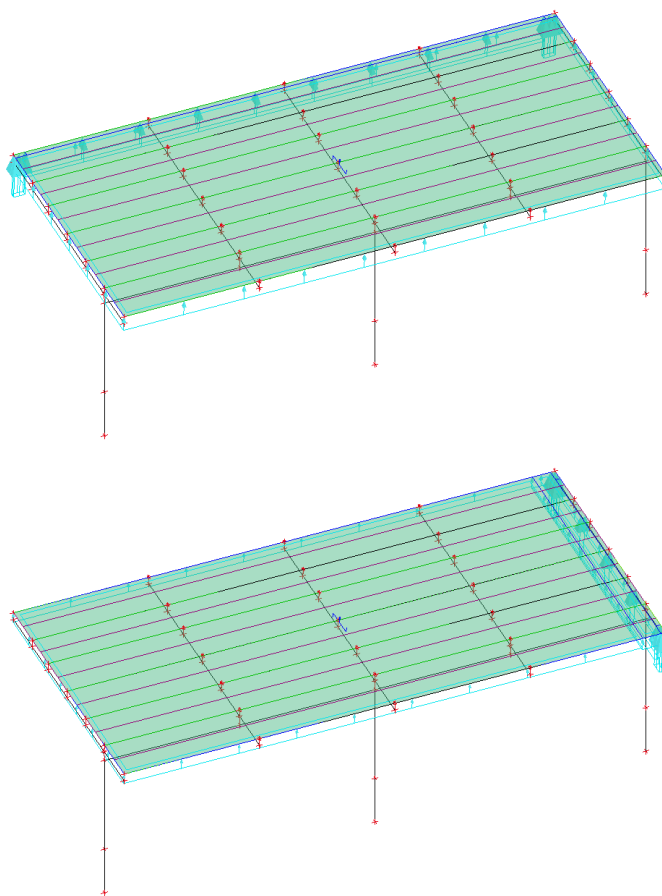
4.7.4 Zatížení sněhem

Zatížení sněhem bylo generováno automaticky softwarem podle zadané hodnoty zatížení sněhem na zemi odečtené z webu provozovaným ČHMÚ (www.snehovamapa.cz).



4.7.5 Zatížení větrem

Zatížení větrem bylo generováno automaticky softwarem. Celkem bylo generováno 48 zatěžovacích stavů. Zobrazeny jsou pouze dva vybrané.



4.7.6 Posouzení ocelových konstrukcí MSÚ

Hodnoty: **UC_{celkový}**

Lineární výpočet

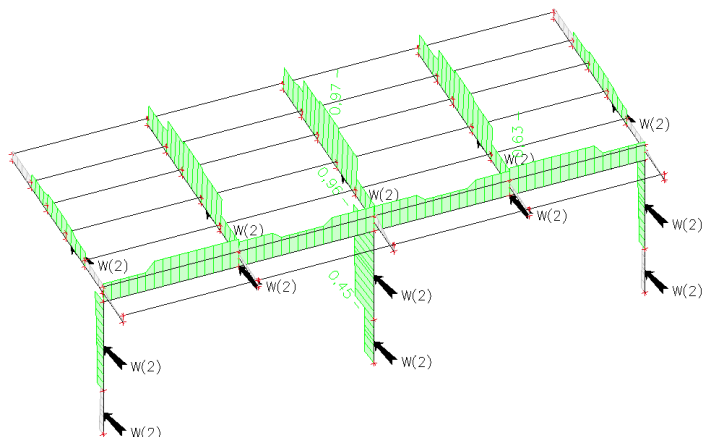
Kombinace: MSÚ-Sada B (auto)

Souřadný systém: Hlavní

Extrém 1D: Průřez

Výběr: Vše

Na vybraných dílcích se vyskytuje 2 varování. 2 z nich je zobrazeno.



Lineární výpočet

Kombinace: MSÚ-Sada B (auto)

Souřadný systém: Hlavní

Extrém 1D: Průřez

Výběr: Vše

Na vybraných dílcích se vyskytuje 2 varování. 2 z nich je zobrazeno.

Celkový posudek

Jméno	dx [m]	Stav	Průřez	Materiál	UC _{celkový} [-]	UC _{průřez} [-]	UC _{stabilita} [-]	CH/V/P
B5	1,040	MSÚ-Sada B (auto)/1	CS1 - Trubka (140; 5)	Litina sloupky	0,45	0,29	0,45	W2, W9
B6	2,120	MSÚ-Sada B (auto)/1	CS2 - Trubka (100; 5)	Litina sloupky	0,96	0,52	0,96	W2, W9
B22	2,900+	MSÚ-Sada B (auto)/1	I21 - Obecný průřez	Ocel nosníky	0,63	0,41	0,63	W2, W9
B19	2,538-	MSÚ-Sada B (auto)/1	I15 - Obecný průřez	Ocel nosníky	0,97	0,69	0,97	W2, W9

Jméno	Klíč kombinace
MSÚ-Sada B (auto)/1	1.15*ZS1 + 1.15*ZS2 + 1.50*ZS4 + 0.90*3DVítr10

4.7.7 Posouzení ocelových konstrukcí MSP

Hodnoty: **Posudek celkový**

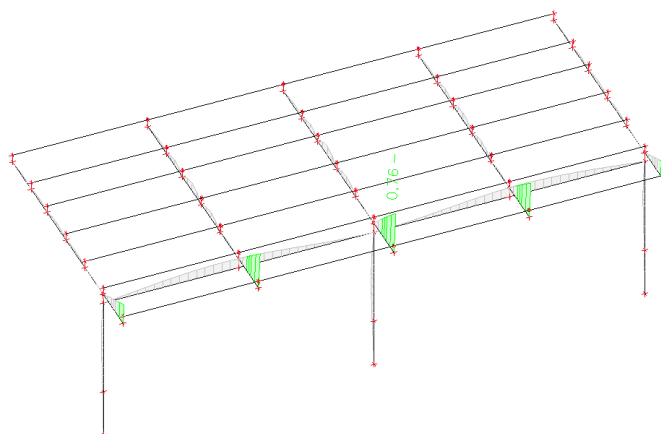
Lineární výpočet

Kombinace: MSP-Char (auto)

Souřadný systém: Hlavní

Extrém 1D: Globální

Výběr: Vše

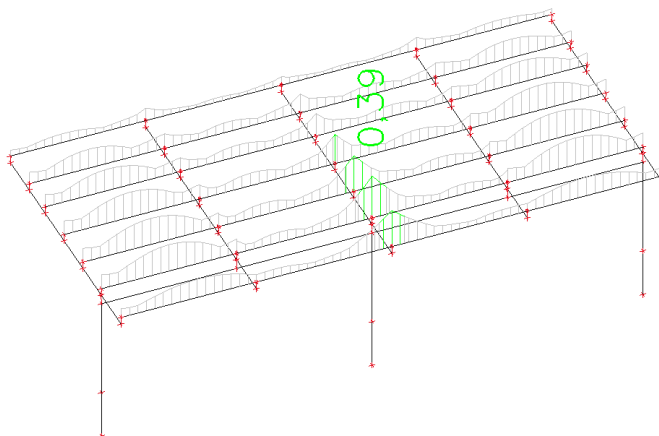


Lineární výpočet
 Kombinace: MSP-Char (auto)
 Souřadný systém: Hlavní
 Extrém 1D: Globální
 Výběr: Vše
Celkový posudek

Jméno	dx [m]	Stav	U _{y,max} [mm] U _{z,max} [mm]	U _{y,var} [mm] U _{z,var} [mm]	Lim. U _{y,max} [mm] Lim. U _{z,max} [mm]	Lim. U _{y,var} [mm] Lim. U _{z,var} [mm]	Posudek U _{y,max} [-] Posudek U _{z,max} [-]	Posudek U _{y,var} [-] Posudek U _{z,var} [-]	Nadvýšení dx U _z [mm] Nadvýšení [mm]	Posudek Celkový [-]
B19	5,253	MSP-Char (auto)/1	0,0 7,2	0,0 3,9	4,7 9,5	2,6 5,3	0,00 0,76	0,00 0,75	- -	0,76

Jméno	Klíč kombinace
MSP-Char (auto)/1	ZS1 + ZS2 + ZS4 + 0.60*3DVítr10

4.7.8 Posouzení dřevěných konstrukcí MSÚ

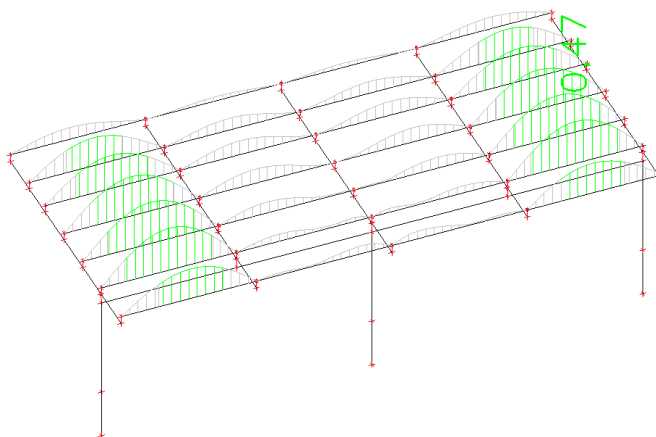


Lineární výpočet, Extrém : Globální
 Výběr : Vše
 Kombinace : MSÚ-Sada B (auto)

Posudek dřeva podle MSÚ

Nosník	Průřez	Materiál	dx [m]	Zatěžovací stav	Jedn. posudek [-]	Posudek v řezu [-]	Posudek stability [-]	CH/V/P
B26	CS6 - Obdélník	C24 (EN 338)	5,800	MSÚ-Sada B (auto)/1	0,39	0,39	0,39	-

4.7.9 Posouzení dřevěných konstrukcí MSP



Lineární výpočet, Extrém : Globální
 Výběr : Vše
 Kombinace : MSP-Char (auto)

Dílec	Průřez	dx [m]	Zatěžovací stav	Jedn. posudek [-]	uy inst [mm]	Rel uy inst [1/xx]	Posudek uy inst [-]	uy fin [mm]	Rel uy fin [1/xx]	Posudek uy fin [-]
	Materiál		k_{def} [-]		uz inst [mm]	Rel uz inst [1/xx]	Posudek uz inst [-]	uz fin [mm]	Rel uz fin [1/xx]	Posudek uz fin [-]
B26	CS6 - Obdélník	10,150	MSP-Char (auto)/1	0,47	0,3	1/8652	0,06	0,4	1/6874	0,04
	C24 (EN 338)		0,60		-2,7	1/1055	0,47	-3,5	1/824	0,36

4.8 Posouzení nosné konstrukce mezistropu nad sociálním zařízením

Ocelová stropnice

typ: ocelový prostý nosník

Parametry prutu:

OCEL	S235	$f_{yk} =$	235 MPa
Průřez:	IPE 180	$E =$	210 GPa

I_y	$13,17 \times 10^6 \text{ mm}^4$	
W_y	$146,33 \times 10^3 \text{ mm}^3$	
$W_{pl,y}$	$166,41 \times 10^3 \text{ mm}^3$	
I_z	$1,01 \times 10^6 \text{ mm}^4$	
I_w	$7,43 \times 10^9 \text{ mm}^6$	
I_t	$47,90 \times 10^3 \text{ mm}^4$	
L_y	4,90 m	.. rozpětí
$L_z=L_w$	4,90 m	
h	180 mm	.. výška profilu
$w_{pož}$	L / 250	.. požadovaný max. průhyb

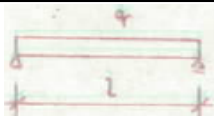
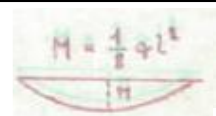
Zatížení:

f_k	3,34 kN/m	.. spojité charakteristické zatížení
F_k	0 kN	.. charakteristická bodová síla
f_d	4,71 kN/m	.. spojité návrhové zatížení
F_d	0 kN	.. návrhová bodová síla

POSOUZENÍ - MSP

využití: 46,2%

M_k^n	10,02 kNm	.. charakteristický ohybový moment dle schématu
α	0,04960	.. pomocný součinitel pro výpočet průhybu, obsahuje $E=210\text{GPa}$

SCHÉMA	MOM. OBRAZEC	M_{max}	α	I_{min}	C_1	C_2
		[kNm]	$[10^{-13}/\text{Pa}]$	$\times 10^6 [\text{mm}^4]$		
		10,02	0,04960	0,609	1,132	0,459

$I_{y,prov}$	$13,17 \times 10^6 \text{ mm}^4$.. moment setrvačnosti navrženého profilu
w	9,1 mm	.. skutečný pružný průhyb

$w_{pož} =$	19,6 mm	$>$	$w =$	9,1 mm	VYHOVUJE
-------------	---------	-----	-------	--------	-----------------

POSOUZENÍ - MSÚ

využití: 91,0%

M_d^n	14,13 kNm	.. návrhový ohybový moment dle schématu		
M_{cr}	18,75 kNm	=>	λ_{LT}	1,44
			ϕ	1,67
			χ_{LT}	0,40

$M_{b,Rd}$	15,53 kNm	$>$	M_d^n	14,13 kNm	VYHOVUJE
$\sigma =$	84,9 MPa	$<$	$f_{yd,\chi} =$	93,31 MPa	VYHOVUJE

4.9 Posouzení provizorní konstrukce záporového pažení

Posouzení pažící konstrukce

Vstupní data

Projekt

Datum : 01.08.2022

Nastavení

Standardní - EN 1997 - DA2

Materiály a normy

Betonové konstrukce : EN 1992-1-1 (EC2)
 Součinitele EN 1992-1-1 : standardní
 Ocelové konstrukce : EN 1993-1-1 (EC3)
 Dílčí součinitel únosnosti ocelového průřezu : $\gamma_{M0} = 1,00$
 Dřevěné konstrukce : EN 1995-1-1 (EC5)
 Dílčí součinitel vlastností dřeva : $\gamma_M = 1,30$
 Součinitel vlivu zatížení a vlhkosti (dřevo) : $k_{mod} = 0,50$
 Součinitel šířky průřezu ve smyku (dřevo) : $k_{cr} = 0,67$

Výpočet tlaků

Metodika posouzení : výpočet podle EN 1997
 Výpočet aktivního tlaku : Coulomb (ČSN 730037)
 Výpočet pasivního tlaku : Caquot-Kerisel (ČSN 730037)
 Metoda výpočtu : závislé tlaky
 Výpočet zemětřesení : Mononobe-Okabe
 Modul reakce podloží : standardní
 Redukovat modul reakce podloží pro záporové pažení
 Návrhový přístup : 2 - redukce zatížení a odporu

Součinitele redukce zatížení (F)			
Trvalá návrhová situace			
		Nepříznivé	Příznivé
Stálé zatížení :	$\gamma_G =$	1,35 [-]	1,00 [-]
Proměnné zatížení :	$\gamma_Q =$	1,50 [-]	0,00 [-]
Zatížení vodou :	$\gamma_w =$	1,35 [-]	

Součinitele redukce odporu (R)			
Trvalá návrhová situace			
Součinitel redukce stability kotvy :		$\gamma_{Ris} =$	1,10 [-]
Součinitel redukce zemního odporu :		$\gamma_{Re} =$	1,40 [-]

Kotvy

Metodika posouzení : mezní stavy

Součinitele redukce			
Součinitel spolehlivosti oceli :	$\gamma_s =$	1,35	[-]
Součinitel redukce na vytržení ze zeminy :	$\gamma_e =$	1,35	[-]
Součinitel redukce na vytržení ze zálivky :	$\gamma_c =$	1,35	[-]

Geometrie konstrukce

Délka konstrukce = 5,00 m

Název průřezu : I-průřez : HE 160 A; $a = 1,00$ m
 Spočtený koeficient redukce tlaku pod dnem jámy = 0,74



Rekonstrukce výpravní budovy žst. Jaroměř

Plocha průřezu $A = 3,88E-03 \text{ m}^2/\text{m}$
 Moment setrvačnosti $I = 1,67E-05 \text{ m}^4/\text{m}$
 Modul pružnosti $E = 210000,00 \text{ MPa}$
 Modul pružnosti ve smyku $G = 81000,00 \text{ MPa}$
 Průřezový modul $W = 2,201E-04 \text{ m}^3/\text{m}$
 Plastický průřezový modul $W_{pl} = 2,451E-04 \text{ m}^3/\text{m}$

Materiál konstrukce

Ocel konstrukční: EN 10210-1 : S 235

Mez kluzu $f_y = 235,00 \text{ MPa}$
 Modul pružnosti $E = 210000,00 \text{ MPa}$
 Modul pružnosti ve smyku $G = 81000,00 \text{ MPa}$

Modul reakce podloží


Modul reakce podloží počítán podle teorie Schmitt.

Základní parametry zemin









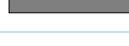
Číslo	Název	Vzorek	Φ_{ef} [°]	c_{ef} [kPa]	γ [kN/m ³]	γ_{su} [kN/m ³]	δ [°]
1	Třída G3, středně ulehlá		32,50	0,00	25,00	16,00	30,00
2	Třída G3, ulehlá		35,50	0,00	19,00	9,00	30,00
3	Třída F4, konzistence tuhá		24,50	14,00	18,50	8,50	20,00
4	Třída G3, ulehlá2		35,50	0,00	19,00	9,00	20,00
5	Třída G5		30,00	6,00	19,50	9,50	20,00
6	R6		24,00	15,00	19,50	10,00	15,00
7	R5		28,00	25,00	21,00	12,00	15,00
8	R4		32,00	50,00	22,00	13,00	15,00
9	R3		36,00	100,00	24,00	15,00	15,00

Parametry zemin pro výpočet tlaku v klidu

Číslo	Název	Vzorek	Typ výpočtu	Φ_{ef} [°]	v [-]	OCR [-]	K_r [-]
1	Třída G3, středně ulehlá		nesoudržná	32,50	-	-	-
2	Třída G3, ulehlá		nesoudržná	35,50	-	-	-
3	Třída F4, konzistence tuhá		nesoudržná	24,50	-	-	-
4	Třída G3, ulehlá2		nesoudržná	35,50	-	-	-

Číslo	Název	Vzorek	Typ výpočtu	φ_{ef} [°]	ν [-]	OCR [-]	K_r [-]
5	Třída G5		nesoudržná	30,00	-	-	-
6	R6		soudržná	-	0,35	-	-
7	R5		soudržná	-	0,30	-	-
8	R4		soudržná	-	0,25	-	-
9	R3		soudržná	-	0,20	-	-

Parametry zemin pro výpočet modulu reakce podloží (Schmitt)

Číslo	Název	Vzorek	ν [-]	E_{oed} [MPa]	E_{def} [MPa]
1	Třída G3, středně ulehlá		0,25	102,00	-
2	Třída G3, ulehlá		0,25	114,00	-
3	Třída F4, konzistence tuhá		0,35	8,00	-
4	Třída G3, ulehlá2		0,25	114,00	-
5	Třída G5		0,30	67,50	-
6	R6		0,35	-	10,00
7	R5		0,30	-	35,00
8	R4		0,25	-	180,00
9	R3		0,20	-	500,00

Parametry zemin

Třída G3, středně ulehlá

Objemová tíha : $\gamma = 25,00 \text{ kN/m}^3$
 Napjatost : efektivní
 Úhel vnitřního tření : $\varphi_{ef} = 32,50^\circ$
 Soudržnost zeminy : $c_{ef} = 0,00 \text{ kPa}$
 Třecí úhel kce-zemina : $\delta = 30,00^\circ$
 Zemina : nesoudržná
 Edometrický modul : $E_{oed} = 102,00 \text{ MPa}$
 Obj.tíha sat.zeminy : $\gamma_{sat} = 26,00 \text{ kN/m}^3$

Třída G3, ulehlá

Objemová tíha : $\gamma = 19,00 \text{ kN/m}^3$
 Napjatost : efektivní



Úhel vnitřního tření : $\varphi_{ef} = 35,50^\circ$
Soudržnost zeminy : $c_{ef} = 0,00 \text{ kPa}$
Třecí úhel kce-zemina : $\delta = 30,00^\circ$
Zemina : nesoudržná
Edometrický modul : $E_{oed} = 114,00 \text{ MPa}$
Obj.tíha sat.zeminy : $\gamma_{sat} = 19,00 \text{ kN/m}^3$

Třída F4, konzistence tuhá

Objemová tíha : $\gamma = 18,50 \text{ kN/m}^3$
Napjatost : efektivní
Úhel vnitřního tření : $\varphi_{ef} = 24,50^\circ$
Soudržnost zeminy : $c_{ef} = 14,00 \text{ kPa}$
Třecí úhel kce-zemina : $\delta = 20,00^\circ$
Zemina : nesoudržná
Edometrický modul : $E_{oed} = 8,00 \text{ MPa}$
Obj.tíha sat.zeminy : $\gamma_{sat} = 18,50 \text{ kN/m}^3$

Třída G3, ulehlá2

Objemová tíha : $\gamma = 19,00 \text{ kN/m}^3$
Napjatost : efektivní
Úhel vnitřního tření : $\varphi_{ef} = 35,50^\circ$
Soudržnost zeminy : $c_{ef} = 0,00 \text{ kPa}$
Třecí úhel kce-zemina : $\delta = 20,00^\circ$
Zemina : nesoudržná
Edometrický modul : $E_{oed} = 114,00 \text{ MPa}$
Obj.tíha sat.zeminy : $\gamma_{sat} = 19,00 \text{ kN/m}^3$

Třída G5

Objemová tíha : $\gamma = 19,50 \text{ kN/m}^3$
Napjatost : efektivní
Úhel vnitřního tření : $\varphi_{ef} = 30,00^\circ$
Soudržnost zeminy : $c_{ef} = 6,00 \text{ kPa}$
Třecí úhel kce-zemina : $\delta = 20,00^\circ$
Zemina : nesoudržná
Edometrický modul : $E_{oed} = 67,50 \text{ MPa}$
Obj.tíha sat.zeminy : $\gamma_{sat} = 19,50 \text{ kN/m}^3$

R6

Objemová tíha : $\gamma = 19,50 \text{ kN/m}^3$
Napjatost : efektivní
Úhel vnitřního tření : $\varphi_{ef} = 24,00^\circ$
Soudržnost zeminy : $c_{ef} = 15,00 \text{ kPa}$
Třecí úhel kce-zemina : $\delta = 15,00^\circ$
Zemina : soudržná
Poissonovo číslo : $\nu = 0,35$
Modul přetvárnosti : $E_{def} = 10,00 \text{ MPa}$
Poissonovo číslo : $\nu = 0,35$
Obj.tíha sat.zeminy : $\gamma_{sat} = 20,00 \text{ kN/m}^3$

R5

Objemová tíha : $\gamma = 21,00 \text{ kN/m}^3$
Napjatost : efektivní
Úhel vnitřního tření : $\varphi_{ef} = 28,00^\circ$
Soudržnost zeminy : $c_{ef} = 25,00 \text{ kPa}$
Třecí úhel kce-zemina : $\delta = 15,00^\circ$
Zemina : soudržná
Poissonovo číslo : $\nu = 0,30$



Rekonstrukce výpravní budovy žst. Jaroměř

Modul přetvárnosti : $E_{\text{def}} = 35,00 \text{ MPa}$
 Poissonovo číslo : $\nu = 0,30$
 Obj.tíha sat.zeminy : $\gamma_{\text{sat}} = 22,00 \text{ kN/m}^3$

R4

Objemová tíha : $\gamma = 22,00 \text{ kN/m}^3$
 Napjatost : efektivní
 Úhel vnitřního tření : $\varphi_{\text{ef}} = 32,00^\circ$
 Soudržnost zeminy : $c_{\text{ef}} = 50,00 \text{ kPa}$
 Třecí úhel kce-zemina : $\delta = 15,00^\circ$
 Zemina : soudržná
 Poissonovo číslo : $\nu = 0,25$
 Modul přetvárnosti : $E_{\text{def}} = 180,00 \text{ MPa}$
 Poissonovo číslo : $\nu = 0,25$
 Obj.tíha sat.zeminy : $\gamma_{\text{sat}} = 23,00 \text{ kN/m}^3$

R3

Objemová tíha : $\gamma = 24,00 \text{ kN/m}^3$
 Napjatost : efektivní
 Úhel vnitřního tření : $\varphi_{\text{ef}} = 36,00^\circ$
 Soudržnost zeminy : $c_{\text{ef}} = 100,00 \text{ kPa}$
 Třecí úhel kce-zemina : $\delta = 15,00^\circ$
 Zemina : soudržná
 Poissonovo číslo : $\nu = 0,20$
 Modul přetvárnosti : $E_{\text{def}} = 500,00 \text{ MPa}$
 Poissonovo číslo : $\nu = 0,20$
 Obj.tíha sat.zeminy : $\gamma_{\text{sat}} = 25,00 \text{ kN/m}^3$

Geologický profil a přiřazení zemín

Číslo	Mocnost vrstvy t [m]	Hloubka z [m]	Přiřazená zemina	Vzorek
1	0,10	0,00 .. 0,10	Třída G3, středně ulehlá	
2	0,60	0,10 .. 0,70	Třída G3, ulehlá	
3	0,20	0,70 .. 0,90	Třída F4, konzistence tuhá	
4	0,80	0,90 .. 1,70	Třída G3, ulehlá2	
5	0,50	1,70 .. 2,20	Třída G5	
6	0,35	2,20 .. 2,55	R6	
7	0,95	2,55 .. 3,50	R5	
8	1,00	3,50 .. 4,50	R4	
9	-	4,50 .. ∞	R3	

Hloubení

Zemina před stěnou je odebrána do hloubky 3,10 m.

Tvar terénu

Terén za konstrukcí je rovný.

Vliv vody

Hladina podzemní vody je pod úrovní konstrukce.

Zadaná plošná přitížení

Číslo	Přítížení		Působ.	Vel.1 [kN/m ²]	Vel.2 [kN/m ²]	Poř.x x [m]	Délka l [m]	Hloubka z [m]
1	Ano	změna	stálé	10,00				na terénu

Číslo	Název
1	Doprava

Celkové nastavení výpočtu

Počet dělení stěny na konečné prvky = 100

Vlastní výpočet mezních tlaků : redukovat podle nastavení

Minimální dimenzační tlak je uvažován hodnotou $\sigma_{a,min} = 0,20\sigma_z$

Nastavení výpočtu fáze

Návrhová situace : trvalá

Výsledky výpočtu

Průběhy tlaků na konstrukci (před a za stěnou)

Hloubka [m]	Ta,p [kPa]	Tk,p [kPa]	Tp,p [kPa]	Ta,z [kPa]	Tk,z [kPa]	Tp,z [kPa]
0.00	0.00	0.00	0.00	3.17	4.63	49.95
0.10	0.00	0.00	0.00	3.96	5.78	62.44
0.10	0.00	0.00	0.00	3.53	5.24	78.82
0.70	0.00	0.00	0.00	6.74	10.02	150.70
0.70	0.00	0.00	0.00	2.78	13.99	101.58
0.90	0.00	0.00	0.00	3.52	16.15	111.49
0.90	0.00	0.00	0.00	8.41	11.57	145.25
1.70	0.00	0.00	0.00	13.04	17.95	225.24
1.70	0.00	0.00	0.00	8.68	21.40	176.17
2.20	0.00	0.00	0.00	12.36	26.27	212.01
2.20	0.00	0.00	0.00	8.51	28.30	167.58
2.31	0.00	0.00	0.00	8.93	29.44	172.78
2.55	0.00	0.00	0.00	9.88	31.97	184.29
2.55	0.00	0.00	0.00	9.88	25.45	253.51
3.10	0.00	0.00	0.00	12.19	30.40	288.72
3.10	0.00	-0.00	-53.66	9.02	26.11	213.66
3.50	0.00	-2.66	-72.61	10.26	25.16	232.60
3.50	0.00	-2.07	-144.01	10.26	19.57	344.80
4.50	0.00	-7.50	-206.29	13.52	24.99	407.08
4.50	0.00	-5.62	-377.68	13.52	18.75	629.99
5.00	0.00	-7.84	-420.37	15.29	20.97	672.68

Průběhy modulu reakce podloží a vnitřních sil po konstrukci

Hloubka [m]	kh,p [MN/m ³]	kh,z [MN/m ³]	Deformace [mm]	Tlak [kPa]	Pos.síla [kN/m]	Moment [kNm/m]
0.00	0.00	0.00	-64.70	3.17	0.00	-0.00
0.25	0.00	0.00	-59.44	4.33	-0.96	0.11
0.50	0.00	0.00	-54.19	5.67	-2.21	0.50



Rekonstrukce výpravní budovy žst. Jaroměř

Hloubka [m]	kh,p [MN/m ³]	kh,z [MN/m ³]	Deformace [mm]	Tlak [kPa]	Pos.síla [kN/m]	Moment [kNm/m]
0.75	0.00	0.00	-48.94	2.97	-3.69	1.24
1.00	0.00	0.00	-43.71	8.99	-4.92	2.28
1.25	0.00	0.00	-38.53	10.44	-7.35	3.81
1.50	0.00	0.00	-33.42	11.88	-10.14	5.99
1.75	0.00	0.00	-28.41	9.05	-13.19	8.91
2.00	0.00	0.00	-23.56	10.88	-15.68	12.51
2.25	0.00	0.00	-18.94	8.71	-18.53	16.78
2.50	0.00	0.00	-14.61	9.68	-20.83	21.70
2.75	0.00	0.00	-10.67	10.72	-23.37	27.22
3.00	0.00	0.00	-7.22	11.77	-26.18	33.41
3.10	0.00	0.00	-6.05	12.17	-27.33	35.98
3.10	0.00	0.00	-5.95	-44.82	-27.20	36.19
3.25	0.00	0.00	-4.36	-51.28	-20.19	39.66
3.50	0.00	0.00	-2.21	-62.35	-5.98	42.99
3.75	0.00	0.00	-0.81	-148.50	27.51	40.57
4.00	1324.80	0.00	-0.12	-147.82	67.52	28.81
4.25	0.00	1324.80	0.07	119.83	60.51	11.42
4.50	0.00	4668.56	0.05	251.73	27.40	0.17
4.75	0.00	4668.56	0.00	43.08	-6.35	-1.38
5.00	4668.56	0.00	-0.02	-76.98	-0.00	-0.00

Maximální posouvající síla = 73,20 kN/m
 Maximální moment = 43,18 kNm/m
 Maximální deformace = 64,7 mm

Výpočet stability svahu

Vstupní data

Projekt

Nastavení

Standardní - EN 1997 - DA2

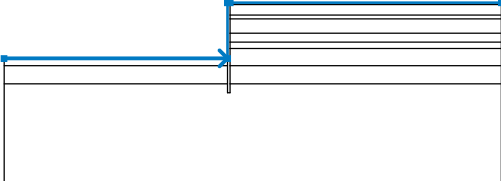
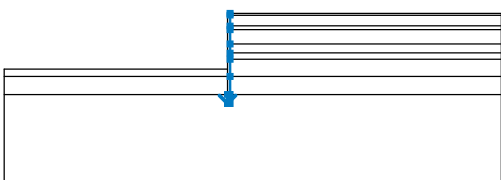
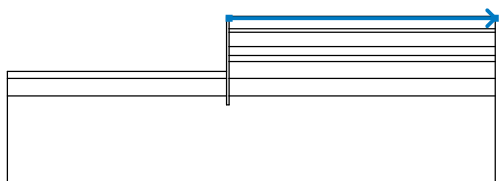
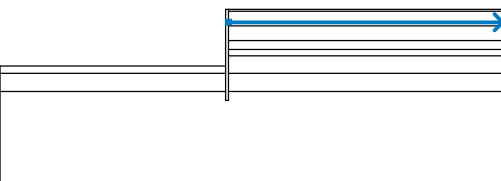
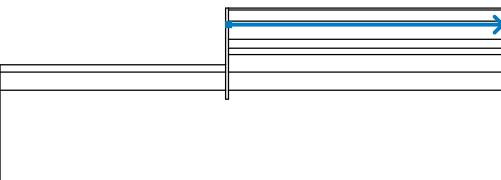
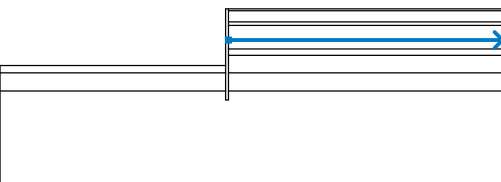
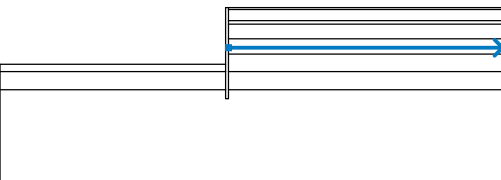
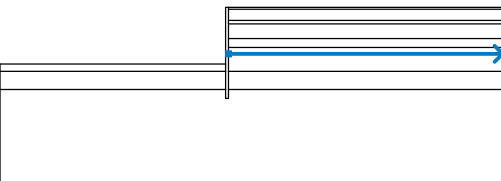
Stabilitní výpočty

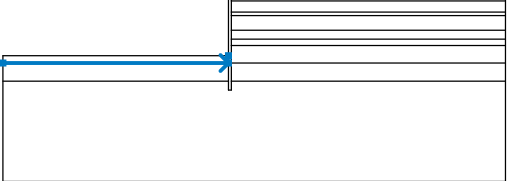
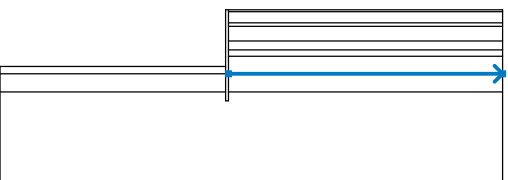
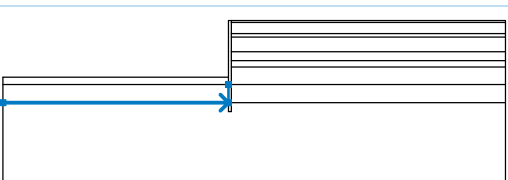
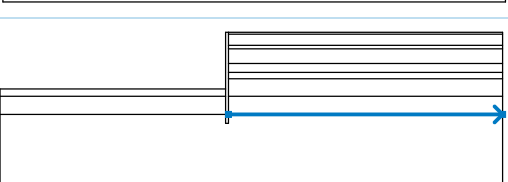
Metodika posouzení : výpočet podle EN 1997
 Výpočet zemětřesení : Standard
 Návrhový přístup : 2 - redukce zatížení a odporu

Součinitele redukce zatížení (F)			
Trvalá návrhová situace			
		Nepříznivé	Příznivé
Stálé zatížení :	$\gamma_G =$	1,35 [-]	1,00 [-]
Proměnné zatížení :	$\gamma_Q =$	1,50 [-]	0,00 [-]
Zatížení vodou :	$\gamma_w =$	1,35 [-]	

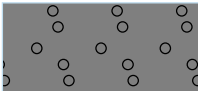
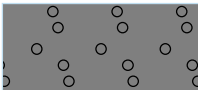
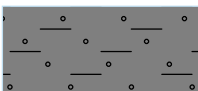
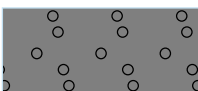
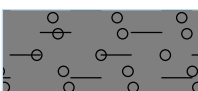
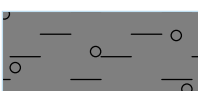
Součinitele redukce odporu (R)			
Trvalá návrhová situace			
Součinitel redukce odporu na smyk. ploše :		$\gamma_{Rs} =$	1,10 [-]

Rozhraní

Číslo	Umístění rozhraní	Souřadnice bodů rozhraní [m]					
		x	z	x	z	x	z
1		-12,50	-3,10	-0,15	-3,10	-0,15	0,00
		0,00	0,00	15,00	0,00		
2		-0,15	-4,50	-0,15	-5,00	0,00	-5,00
		0,00	-4,50	0,00	-3,50	0,00	-2,55
		0,00	-2,20	0,00	-1,70	0,00	-0,90
		0,00	-0,70	0,00	-0,10	0,00	0,00
3		0,00	-0,10	15,00	-0,10		
4		0,00	-0,70	15,00	-0,70		
5		0,00	-0,90	15,00	-0,90		
6		0,00	-1,70	15,00	-1,70		
7		0,00	-2,20	15,00	-2,20		
8		0,00	-2,55	15,00	-2,55		

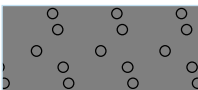
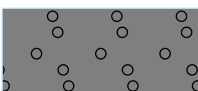
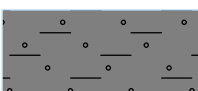

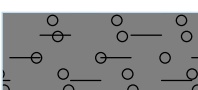
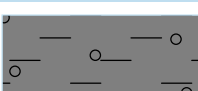
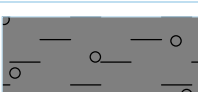
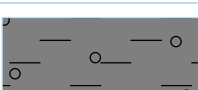
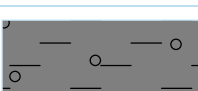
Číslo	Umístění rozhraní	Souřadnice bodů rozhraní [m]					
		x	z	x	z	x	z
9		-12,50	-3,50	-0,15	-3,50	-0,15	-3,10
10		0,00	-3,50	15,00	-3,50		
11		-12,50	-4,50	-0,15	-4,50	-0,15	-3,50
12		0,00	-4,50	15,00	-4,50		

Parametry zemin - efektivní napjatost

Číslo	Název	Vzorek	Φ_{ef} [°]	c_{ef} [kPa]	γ [kN/m ³]
1	Třída G3, středně ulehlá		32,50	0,00	25,00
2	Třída G3, ulehlá		35,50	0,00	19,00
3	Třída F4, konzistence tuhá		24,50	14,00	18,50
4	Třída G3, ulehlá2		35,50	0,00	19,00
5	Třída G5		30,00	6,00	19,50
6	R6		24,00	15,00	19,50

Číslo	Název	Vzorek	ϕ_{ef} [°]	c_{ef} [kPa]	γ [kN/m ³]
7	R5		28,00	25,00	21,00
8	R4		32,00	50,00	22,00
9	R3		36,00	100,00	24,00

Parametry zemin - vztlak

Číslo	Název	Vzorek	γ_{sat} [kN/m ³]	γ_s [kN/m ³]	n [-]
1	Třída G3, středně ulehlá		26,00		
2	Třída G3, ulehlá		19,00		
3	Třída F4, konzistence tuhá		18,50		
4	Třída G3, ulehlá2		19,00		
5	Třída G5		19,50		
6	R6		20,00		
7	R5		22,00		
8	R4		23,00		
9	R3		25,00		

Parametry zemin

Třída G3, středně ulehlá

Objemová tíha : $\gamma = 25,00 \text{ kN/m}^3$

Napjatost : efektivní



Úhel vnitřního tření : $\varphi_{ef} = 32,50^\circ$
Soudržnost zeminy : $c_{ef} = 0,00 \text{ kPa}$
Obj.tíha sat.zeminy : $\gamma_{sat} = 26,00 \text{ kN/m}^3$

Třída G3, ulehlá

Objemová tíha : $\gamma = 19,00 \text{ kN/m}^3$
Napjatost : efektivní
Úhel vnitřního tření : $\varphi_{ef} = 35,50^\circ$
Soudržnost zeminy : $c_{ef} = 0,00 \text{ kPa}$
Obj.tíha sat.zeminy : $\gamma_{sat} = 19,00 \text{ kN/m}^3$

Třída F4, konzistence tuhá

Objemová tíha : $\gamma = 18,50 \text{ kN/m}^3$
Napjatost : efektivní
Úhel vnitřního tření : $\varphi_{ef} = 24,50^\circ$
Soudržnost zeminy : $c_{ef} = 14,00 \text{ kPa}$
Obj.tíha sat.zeminy : $\gamma_{sat} = 18,50 \text{ kN/m}^3$

Třída G3, ulehlá2

Objemová tíha : $\gamma = 19,00 \text{ kN/m}^3$
Napjatost : efektivní
Úhel vnitřního tření : $\varphi_{ef} = 35,50^\circ$
Soudržnost zeminy : $c_{ef} = 0,00 \text{ kPa}$
Obj.tíha sat.zeminy : $\gamma_{sat} = 19,00 \text{ kN/m}^3$

Třída G5

Objemová tíha : $\gamma = 19,50 \text{ kN/m}^3$
Napjatost : efektivní
Úhel vnitřního tření : $\varphi_{ef} = 30,00^\circ$
Soudržnost zeminy : $c_{ef} = 6,00 \text{ kPa}$
Obj.tíha sat.zeminy : $\gamma_{sat} = 19,50 \text{ kN/m}^3$

R6

Objemová tíha : $\gamma = 19,50 \text{ kN/m}^3$
Napjatost : efektivní
Úhel vnitřního tření : $\varphi_{ef} = 24,00^\circ$
Soudržnost zeminy : $c_{ef} = 15,00 \text{ kPa}$
Obj.tíha sat.zeminy : $\gamma_{sat} = 20,00 \text{ kN/m}^3$

R5

Objemová tíha : $\gamma = 21,00 \text{ kN/m}^3$
Napjatost : efektivní
Úhel vnitřního tření : $\varphi_{ef} = 28,00^\circ$
Soudržnost zeminy : $c_{ef} = 25,00 \text{ kPa}$
Obj.tíha sat.zeminy : $\gamma_{sat} = 22,00 \text{ kN/m}^3$

R4

Objemová tíha : $\gamma = 22,00 \text{ kN/m}^3$
Napjatost : efektivní
Úhel vnitřního tření : $\varphi_{ef} = 32,00^\circ$
Soudržnost zeminy : $c_{ef} = 50,00 \text{ kPa}$
Obj.tíha sat.zeminy : $\gamma_{sat} = 23,00 \text{ kN/m}^3$

R3

Objemová tíha : $\gamma = 24,00 \text{ kN/m}^3$
Napjatost : efektivní
Úhel vnitřního tření : $\varphi_{ef} = 36,00^\circ$



Rekonstrukce výpravní budovy žst. Jaroměř

Soudržnost zeminy : $c_{ef} = 100,00 \text{ kPa}$
 Obj.tíha sat.zeminy : $\gamma_{sat} = 25,00 \text{ kN/m}^3$

Přetížení

Číslo	Typ	Působení	Umístění z [m]	Počátek x [m]	Délka l [m]	Šířka b [m]	Sklon α [°]	Velikost q, q ₁ , f, F, x, q ₂ , z		jednotka
1	pásové	stálé	na povrchu	x = 0,00	l = 15,00		0,00	10,00		kN/m ²

Názvy přetížení

Číslo	Název
1	Doprava

Voda

Typ vody : Voda není

Tahová trhlina

Tahová trhlina není zadána.

Zemětřesení

Se zemětřesením se nepočítá.

Nastavení výpočtu fáze

Návrhová situace : trvalá

Výsledky (Fáze budování 1)

Výpočet 1

Kruhová smyková plocha

Parametry smykové plochy					
Střed :	x =	-0,75 [m]	Úhly :	α_1 =	-47,84 [°]
	z =	0,88 [m]		α_2 =	81,47 [°]
Poloměr :	R =	5,93 [m]			
Smyková plocha po optimalizaci.					

Posouzení stability svahu (Bishop)

Sumace aktivních sil : $F_a = 214,34 \text{ kN/m}$

Sumace pasivních sil : $F_p = 1254,27 \text{ kN/m}$

Moment sesouvající : $M_a = 1271,05 \text{ kNm/m}$

Moment vzdorující : $M_p = 6761,63 \text{ kNm/m}$

Využití : 18,8 %

Stabilita svahu VYHOVUJE

Dimenzace čís. 1

Průběhy vnitřních sil po konstrukci

	Def. min [mm]	Def. max [mm]	Pos. síla min. [kN/m]	Pos. síla max [kN/m]	Moment min. [kNm/m]	Moment max. [kNm/m]
0.00	-64.70	-64.70	0.00	0.00	-0.00	-0.00
0.25	-59.44	-59.44	-0.96	-0.96	0.11	0.11
0.50	-54.19	-54.19	-2.21	-2.21	0.50	0.50



	Def. min [mm]	Def. max [mm]	Pos. síla min. [kN/m]	Pos. síla max [kN/m]	Moment min. [kNm/m]	Moment max. [kNm/m]
0.75	-48.94	-48.94	-3.69	-3.69	1.24	1.24
1.00	-43.71	-43.71	-4.92	-4.92	2.28	2.28
1.25	-38.53	-38.53	-7.35	-7.35	3.81	3.81
1.50	-33.42	-33.42	-10.14	-10.14	5.99	5.99
1.75	-28.41	-28.41	-13.19	-13.19	8.91	8.91
2.00	-23.56	-23.56	-15.68	-15.68	12.51	12.51
2.25	-18.94	-18.94	-18.53	-18.53	16.78	16.78
2.50	-14.61	-14.61	-20.83	-20.83	21.70	21.70
2.75	-10.67	-10.67	-23.37	-23.37	27.22	27.22
3.00	-7.22	-7.22	-26.18	-26.18	33.41	33.41
3.10	-6.05	-6.05	-27.33	-27.33	35.98	35.98
3.10	-5.95	-5.95	-27.20	-27.20	36.19	36.19
3.25	-4.36	-4.36	-20.19	-20.19	39.66	39.66
3.50	-2.21	-2.21	-5.98	-5.98	42.99	42.99
3.75	-0.81	-0.81	27.51	27.51	40.57	40.57
4.00	-0.12	-0.12	67.52	67.52	28.81	28.81
4.25	0.07	0.07	60.51	60.51	11.42	11.42
4.50	0.05	0.05	27.40	27.40	0.17	0.17
4.75	0.00	0.00	-6.35	-6.35	-1.38	-1.38
5.00	-0.02	-0.02	-0.00	-0.00	-0.00	-0.00

Maximální hodnoty deformací a vnitřních sil

Maximální deformace = -64,7 mm
 Minimální deformace = 0,1 mm
 Maximální ohybový moment = 43,18 kNm/m
 Minimální ohybový moment = -1,70 kNm/m
 Maximální posouvající síla = 73,20 kN/m

Posouzení ocelového průřezu podle EN 1993-1-1

Pro výpočet uvažovány všechny fáze budování.
 Výpočtový součinitel namáhání průřezu = 1,00

Dimenzační síly na 1 I-profil

$M_{\max} = 43,18 \text{ kNm}; \quad Q = 1,01 \text{ kN}$
 $Q_{\max} = 73,20 \text{ kN}; \quad M = 21,63 \text{ kNm}$

Posouzení max. momentu $M_{\max} + Q$:

Posouzení ohybu:

$M_{\max}/M_{c,Rd} = 0,835 \leq 1$ **Vyhovuje**

Posouzení smyku:

$Q/V_{c,Rd} = 0,009 \leq 1$ **Vyhovuje**

Posouzení rovinné napjatosti:

Normálové napětí $\sigma_{x,Ed} = 172,94 \text{ MPa}$

Smykové napětí $\tau_{Ed} = 1,03 \text{ MPa}$

Posudek: $(\sigma_{x,Ed}/(f_y/Y_{M0}))^2 + 3*(\tau_{Ed}/(f_y/Y_{M0}))^2 = 0,542 \leq 1$ **Vyhovuje**

Posouzení max. posouvající síly $Q_{\max} + M$:

Posouzení ohybu:

$M/M_{c,Rd} = 0,418 \leq 1$ **Vyhovuje**

Posouzení smyku:

$Q_{\max}/V_{c,Rd} = 0,659 \leq 1$ **Vyhovuje**

Posouzení rovinné napjatosti:

Normálové napětí $\sigma_{x,Ed} = 86,61 \text{ MPa}$

Smykové napětí $\tau_{Ed} = 75,08 \text{ MPa}$

Posudek: $(\sigma_{x,Ed}/(f_y/\gamma_{M0}))^2 + 3 \cdot (\tau_{Ed}/(f_y/\gamma_{M0}))^2 = 0,442 \leq 1$ **Vyhovuje**

Průřez VYHOVUJE

Posouzení pažin č. 1

Vstupní data

Dřevo : C24 - jehličnaté

Typ průřezu : obdélník $b \times h = 40,0 \times 200,0 \text{ mm}$

Typ zatížení : obdélník

Posouzení dřevěného průřezu podle EN 1995-1-1

Pro výpočet uvažovány všechny fáze budování.

Výpočtový součinitel namáhání průřezu = 1,00

Posouzení tlaku a ohybu

$N = 0,00 \text{ kN}$; $M = 0,33 \text{ kNm}$

Normálové napětí v tlaku $\sigma_{c,0,d} = 0,00 \text{ MPa}$

Normálové napětí v ohybu $\sigma_{m,d} = 6,11 \text{ MPa}$

$(\sigma_{c,0,d}/f_{c,0,d})^2 + \sigma_{m,d}/f_{m,d} = 0,662 \leq 1$ **Vyhovuje**

Posouzení smyku

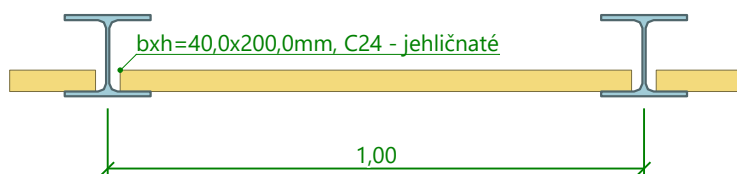
$Q_{\max} = 1,30 \text{ kN}$

Smykové napětí $\tau_d = 0,24 \text{ MPa}$

$\tau_d/k_{Cr}/f_{v,d} = 0,237 \leq 1$ **Vyhovuje**


Průřez VYHOVUJE

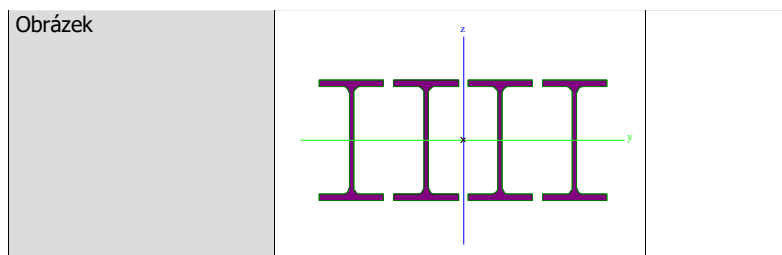
Schéma pažiny



4.10 Posouzení ocelových překladů v nadpraží bouraných otvorů

4.10.1 Průřezy

4xIPE 120		
Typ	Obecný průřez	
Typ tvaru	Tenkostěnný	
Materiál	S 235	
Výroba	obecný	
Barva		
Posudek rovinného vzpěru y-y, Posudek rovinného vzpěru z-z	d	d
A [m²]	5,2872e-03	
A _y [m²], A _z [m²]	2,9750e-03	2,0399e-03
A _L [m²/m], A _D [m²/m]	1,9005e+00	1,9005e+00
C _{y,UCS} [mm], C _{z,UCS} [mm]	37	0
α [deg]	0,00	
I _y [m⁴], I _z [m⁴]	1,2718e-05	3,7298e-05
i _y [mm], i _z [mm]	49	84
W _{el,y} [m³], W _{el,z} [m³]	2,1197e-04	2,6082e-04
W _{pl,y} [m³], W _{pl,z} [m³]	2,4306e-04	3,9125e-04
M _{pl,y,+} [Nm], M _{pl,y,-} [Nm]	57119,06	57119,06
M _{pl,z,+} [Nm], M _{pl,z,-} [Nm]	91944,57	91944,57
d _y [mm], d _z [mm]	0	0
I _t [m⁴], I _w [m⁶]	6,9578e-08	9,0550e-08
β _y [mm], β _z [mm]	0	0



4.10.2 Materiály

Ocel EC3

Jméno	ρ [kg/m ³]	E_{mod} [MPa] G_{mod} [MPa]	μ α [m/mK]	Dolní mez [mm]	Horní mez [mm]	F_y [MPa]	F_u [MPa]	Barva
S 235	7850,00	2,1000e+05 8,0769e+04	0.3 0,01e-003	0 40	40 80	235,0 215,0	360,0 360,0	

4.10.3 Zatěžovací stavy

Jméno	Popis	Typ působení	Skupina zatížení	Směr	Působení	Řídící zat. stav
	Spec	Typ zatížení				
ZS1	Vlastní tíha	Stálé Vlastní tíha	SZ1	-Z		
ZS2	Ostatní stálé	Stálé Standard	SZ1			
ZS3	Užitné strop Standard	Proměnné Statické	SZ2		Krátkodobé	Žádný
ZS4	Užitné střecha Standard	Proměnné Statické	SZ3		Krátkodobé	Žádný
ZS5	Sníh Standard	Proměnné Statické	SZ4		Krátkodobé	Žádný
ZS6	Vítr Standard	Proměnné Statické	SZ5		Krátkodobé	Žádný

4.10.4 Kombinace

Jméno	Popis	Typ	Zatěžovací stavy	Souč. [-]
MSÚ-Sada B (auto)		EN-MSÚ (STR/GEO) Soubor B	ZS1 - Vlastní tíha ZS2 - Ostatní stálé ZS3 - Užitné strop ZS4 - Užitné střecha ZS5 - Sníh ZS6 - Vítr	1,000 1,000 1,000 1,000 1,000 1,000
MSP-Char (auto)		EN-MSP charakteristická	ZS1 - Vlastní tíha ZS2 - Ostatní stálé ZS3 - Užitné strop ZS4 - Užitné střecha ZS5 - Sníh ZS6 - Vítr	1,000 1,000 1,000 1,000 1,000 1,000

4.10.5 Posudek ocelových prvků na MSÚ EC-EN 1993

Lineární výpočet
 Kombinace: MSÚ-Sada B (auto)
 Souřadný systém: Hlavní
 Extrém 1D: Dílec
 Výběr: Vše

Posudek EN 1993-1-1

Prodin a.s.
 K Vápence 2745
 530 02 Pardubice



Národní příloha: Česká CSN-EN NA

Dílec A_1.NP_1.02	0,750 / 1,500 m	Obecný průřez	S 235	MSÚ-Sada B (auto)	0,67 -
-------------------	-----------------	---------------	-------	-------------------	--------

Klíč kombinace

MSÚ-Sada B (auto) / 1.35*ZS1 + 1.35*ZS2 + 1.05*ZS3 + 0.75*ZS5 + 0.90*ZS6

Dílní souč. spolehlivosti

γ_{M0} pro únosnost průřezu	1,00
γ_{M1} pro stabilitní únosnost	1,00
γ_{M2} pro únosnost čistého průřezu	1,25

Materiál

Mez kluzu	f_y	235,0	MPa
Pevnost v tahu	f_u	360,0	MPa
Výroba		Obecné	

....:POSUDEK ÚNOSNOSTI:....

Kritický posudek je na pozici 0,750 m

Definice osy:

- hlavní osa y v tomto posudku se vztahuje k hlavní ose z programu SCIA Engineer.
- hlavní osa z v tomto posudku se vztahuje k hlavní ose y programu SCIA Engineer.

Vnitřní síly		Vypočtené	Jednotka
Osová síla	N_{Ed}	0,00	kN
Smyková síla	$V_{y,Ed}$	0,00	kN
Smyková síla	$V_{z,Ed}$	0,00	kN
Kroucení	T_{Ed}	0,00	kNm
Ohybový moment	$M_{y,Ed}$	0,00	kNm
Ohybový moment	$M_{z,Ed}$	38,04	kNm

Klasifikace pro návrh průřezu

Klasifikace podle EN 1993-1-1 článku 5.5.2

Klasifikace vnitřních a vyčnívajících částí podle EN 1993-1-1 tabulky 5.2 listu 1 & 2

Id	Typ	c [mm]	t [mm]	σ_1 [kN/m ²]	σ_2 [kN/m ²]	Ψ [-]	k_σ [-]	α [-]	c/t [-]	Třída 1 limit [-]	Třída 2 limit [-]	Třída 3 limit [-]	Třída
1	UO	32	6	-171745,708	-171745,708								
2	UO	32	6	171745,708	171745,708	1,0	0,4	1,0	5,1	9,0	10,0	14,0	1
3	UO	32	6	171745,708	171745,708	1,0	0,4	1,0	5,1	9,0	10,0	14,0	1
4	UO	32	6	-171745,708	-171745,708								
5	I	3	4	-171745,708	-162229,455								
6	I	107	4	-162229,455	162229,455	-1,0		0,5	24,4	72,0	83,0	124,0	1
7	I	3	4	162229,455	171745,708	0,9		1,0	0,7	28,0	34,0	38,7	1
8	UO	32	6	-171745,708	-171745,708								
9	UO	32	6	171745,708	171745,708	1,0	0,4	1,0	5,1	9,0	10,0	14,0	1
10	UO	32	6	171745,708	171745,708	1,0	0,4	1,0	5,1	9,0	10,0	14,0	1
11	UO	32	6	-171745,708	-171745,708								
12	I	3	4	-171745,708	-162229,455								
13	I	107	4	-162229,455	162229,455	-1,0		0,5	24,4	72,0	83,0	124,0	1
14	I	3	4	162229,455	171745,708	0,9		1,0	0,7	28,0	34,0	38,7	1
15	UO	32	6	-171745,708	-171745,708								
16	UO	32	6	171745,708	171745,708	1,0	0,4	1,0	5,1	9,0	10,0	14,0	1
17	UO	32	6	171745,708	171745,708	1,0	0,4	1,0	5,1	9,0	10,0	14,0	1
18	UO	32	6	-171745,708	-171745,708								
19	I	3	4	-171745,708	-162229,455								
20	I	107	4	-162229,455	162229,455	-1,0		0,5	24,4	72,0	83,0	124,0	1
21	I	3	4	162229,455	171745,708	0,9		1,0	0,7	28,0	34,0	38,7	1
22	UO	32	6	-171745,708	-171745,708								
23	UO	32	6	171745,708	171745,708	1,0	0,4	1,0	5,1	9,0	10,0	14,0	1
24	UO	32	6	171745,708	171745,708	1,0	0,4	1,0	5,1	9,0	10,0	14,0	1
25	UO	32	6	-171745,708	-171745,708								
26	I	3	4	-171745,708	-162229,455								
27	I	107	4	-162229,455	162229,455	-1,0		0,5	24,4	72,0	83,0	124,0	1
28	I	3	4	162229,455	171745,708	0,9		1,0	0,7	28,0	34,0	38,7	1

Poznámka: Limity klasifikace byly nastaveny podle Semi-Comp+.
Průřez je klasifikován třídou 1

Posudek ohybového momentu pro M_z

Podle EN 1993-1-1 článku 6.2.5 a rovnice (6.12), (6.13)

Plastický modul průřezu	$W_{pl,z}$	2,4306e-04	m ³
Plastický ohybový moment	$M_{pl,z,Rd}$	57,12	kNm
Jedn. posudek		0,67	-

Posudek smyku pro V_y

Podle EN 1993-1-1 článku 6.2.6 a rovnice (6.17)

Součinitel smykové korekce	η	1,20	
Smyk. plocha	A_v	2,0399e-03	m ²
Plastická smyková únosnost pro V_y	$V_{pl,y,Rd}$	276,77	kN
Jedn. posudek		0,00	-

Poznámka: Z průřezových charakteristik není získána žádná smyková plocha.

Prvek splňuje podmínky posudku průřezu.

Posudek EN 1993-1-1

Národní příloha: Česká CSN-EN NA

Dílec B_1.NP_1.52	0,900 / 1,800 m	Obecný průřez	S 235	MSÚ-Sada B (auto)	0,57 -
-------------------	-----------------	---------------	-------	-------------------	--------

Klíč kombinace
MSÚ-Sada B (auto) / 1.35*ZS1 + 1.35*ZS2 + 1.05*ZS3

Dílčí souč. spolehlivosti	
γ_{M0} pro únosnost průřezu	1,00
γ_{M1} pro stabilitní únosnost	1,00
γ_{M2} pro únosnost čistého průřezu	1.25

Materiál			
Mez kluzu	f_y	235,0	MPa
Pevnosť v tahu	f_u	360,0	MPa
Výroba		Obecné	

....:POSUDEK ÚNOSNOSTI:....

Kritický posudek je na pozici 0,900 m

Definice osy:

- hlavní osa y v tomto posudku se vztahuje k hlavní ose z programu SCIA Engineer.
- hlavní osa z v tomto posudku se vztahuje k hlavní ose y programu SCIA Engineer.

Vnitřní síly		Vypočtené	Jednotka
Osová síla	N_{Ed}	0,00	kN
Smyková síla	$V_{y,Ed}$	0,00	kN
Smyková síla	$V_{z,Ed}$	0,00	kN
Kroucení	T_{Ed}	0,00	kNm
Ohybový moment	$M_{y,Ed}$	0,00	kNm
Ohybový moment	$M_{z,Ed}$	32,63	kNm

Klasifikace pro návrh průřezu

Klasifikace podle EN 1993-1-1 článku 5.5.2

Klasifikace vnitřních a vyčnívajících částí podle EN 1993-1-1 tabulky 5.2 listu 1 & 2

Id	Typ	c [mm]	t [mm]	σ_1 [kN/m ²]	σ_2 [kN/m ²]	Ψ [-]	k_σ [-]	α [-]	c/t [-]	Třída 1 limit [-]	Třída 2 limit [-]	Třída 3 limit [-]	Třída
1	UO	32	6	-147336,617	-147336,617								
2	UO	32	6	147336,617	147336,617	1,0	0,4	1,0	5,1	9,0	10,0	14,0	1



Rekonstrukce výpravní budovy žst. Jaroměř

Id	Typ	c [mm]	t [mm]	σ_1 [kN/m ²]	σ_2 [kN/m ²]	Ψ [-]	k_σ [-]	α [-]	c/t [-]	Třída 1 limit [-]	Třída 2 limit [-]	Třída 3 limit [-]	Třída
3	UO	32	6	147336,617	147336,617	1,0	0,4	1,0	5,1	9,0	10,0	14,0	1
4	UO	32	6	-147336,617	-147336,617								
5	I	3	4	-147336,617	-139172,847								
6	I	107	4	-139172,847	139172,847	-1,0		0,5	24,4	72,0	83,0	124,0	1
7	I	3	4	139172,847	147336,617	0,9		1,0	0,7	28,0	34,0	38,7	1
8	UO	32	6	-147336,617	-147336,617								
9	UO	32	6	147336,617	147336,617	1,0	0,4	1,0	5,1	9,0	10,0	14,0	1
10	UO	32	6	147336,617	147336,617	1,0	0,4	1,0	5,1	9,0	10,0	14,0	1
11	UO	32	6	-147336,617	-147336,617								
12	I	3	4	-147336,617	-139172,847								
13	I	107	4	-139172,847	139172,847	-1,0		0,5	24,4	72,0	83,0	124,0	1
14	I	3	4	139172,847	147336,617	0,9		1,0	0,7	28,0	34,0	38,7	1
15	UO	32	6	-147336,617	-147336,617								
16	UO	32	6	147336,617	147336,617	1,0	0,4	1,0	5,1	9,0	10,0	14,0	1
17	UO	32	6	147336,617	147336,617	1,0	0,4	1,0	5,1	9,0	10,0	14,0	1
18	UO	32	6	-147336,617	-147336,617								
19	I	3	4	-147336,617	-139172,847								
20	I	107	4	-139172,847	139172,847	-1,0		0,5	24,4	72,0	83,0	124,0	1
21	I	3	4	139172,847	147336,617	0,9		1,0	0,7	28,0	34,0	38,7	1
22	UO	32	6	-147336,617	-147336,617								
23	UO	32	6	147336,617	147336,617	1,0	0,4	1,0	5,1	9,0	10,0	14,0	1
24	UO	32	6	147336,617	147336,617	1,0	0,4	1,0	5,1	9,0	10,0	14,0	1
25	UO	32	6	-147336,617	-147336,617								
26	I	3	4	-147336,617	-139172,847								
27	I	107	4	-139172,847	139172,847	-1,0		0,5	24,4	72,0	83,0	124,0	1
28	I	3	4	139172,847	147336,617	0,9		1,0	0,7	28,0	34,0	38,7	1

Poznámka: Limity klasifikace byly nastaveny podle Semi-Comp+.
Průřez je klasifikován třídou 1

Posudek ohybového momentu pro M_z

Podle EN 1993-1-1 článku 6.2.5 a rovnice (6.12), (6.13)

Plastický modul průřezu	$W_{pl,z}$	2,4306e-04	m ³
Plastický ohybový moment	$M_{pl,z,Rd}$	57,12	kNm
Jedn. posudek		0,57	-

Posudek smyku pro V_y

Podle EN 1993-1-1 článku 6.2.6 a rovnice (6.17)

Součinitel smykové korekce	η	1,20	
Smyk. plocha	A_v	2,0399e-03	m ²
Plastická smyková únosnost pro V_y	$V_{pl,y,Rd}$	276,77	kN
Jedn. posudek		0,00	-

Poznámka: Z průřezových charakteristik není získána žádná smyková plocha.

Prvek splňuje podmínky posudku průřezu.

Posudek EN 1993-1-1

Národní příloha: Česká CSN-EN NA

Dílec A_1.NP_1.3	0,600 / 1,200 m	Obecný průřez	S 235	MSÚ-Sada B (auto)	0,63 -
------------------	-----------------	---------------	-------	-------------------	--------

Klíč kombinace
MSÚ-Sada B (auto) / 1.35*ZS1 + 1.35*ZS2 + 1.05*ZS3 + 0.75*ZS5 + 0.90*ZS6

Díleč souč. spolehlivosti	
γ_{M0} pro únosnost průřezu	1,00
γ_{M1} pro stabilitní únosnost	1,00
γ_{M2} pro únosnost čistého průřezu	1.25

Materiál			
Mez kluzu	f_v	235.0	MPa

Materiál			
Pevnost v tahu	f_u	360,0	MPa
Výroba		Obecné	

....:POSUDEK ÚNOSNOSTI:....

Kritický posudek je na pozici 0,600 m

Definice osy:

- hlavní osa y v tomto posudku se vztahuje k hlavní ose z programu SCIA Engineer.
- hlavní osa z v tomto posudku se vztahuje k hlavní ose y programu SCIA Engineer.

Vnitřní síly		Vypočtené	Jednotka
Osová síla	N_{Ed}	0,00	kN
Smyková síla	$V_{y,Ed}$	0,00	kN
Smyková síla	$V_{z,Ed}$	0,00	kN
Kroucení	T_{Ed}	0,00	kNm
Ohybový moment	$M_{y,Ed}$	0,00	kNm
Ohybový moment	$M_{z,Ed}$	35,79	kNm

Klasifikace pro návrh průřezu

Klasifikace podle EN 1993-1-1 článku 5.5.2

Klasifikace vnitřních a vyčnívajících částí podle EN 1993-1-1 tabulky 5.2 listu 1 & 2

Id	Typ	c [mm]	t [mm]	σ_1 [kN/m ²]	σ_2 [kN/m ²]	Ψ [-]	k_σ [-]	α [-]	c/t [-]	Třída 1 limit [-]	Třída 2 limit [-]	Třída 3 limit [-]	Třída
1	UO	32	6	-161580,521	-161580,521								
2	UO	32	6	161580,521	161580,521	1,0	0,4	1,0	5,1	9,0	10,0	14,0	1
3	UO	32	6	161580,521	161580,521	1,0	0,4	1,0	5,1	9,0	10,0	14,0	1
4	UO	32	6	-161580,521	-161580,521								
5	I	3	4	-161580,521	-152627,511								
6	I	107	4	-152627,511	152627,511	-1,0		0,5	24,4	72,0	83,0	124,0	1
7	I	3	4	152627,511	161580,521	0,9		1,0	0,7	28,0	34,0	38,7	1
8	UO	32	6	-161580,521	-161580,521								
9	UO	32	6	161580,521	161580,521	1,0	0,4	1,0	5,1	9,0	10,0	14,0	1
10	UO	32	6	161580,521	161580,521	1,0	0,4	1,0	5,1	9,0	10,0	14,0	1
11	UO	32	6	-161580,521	-161580,521								
12	I	3	4	-161580,521	-152627,511								
13	I	107	4	-152627,511	152627,511	-1,0		0,5	24,4	72,0	83,0	124,0	1
14	I	3	4	152627,511	161580,521	0,9		1,0	0,7	28,0	34,0	38,7	1
15	UO	32	6	-161580,521	-161580,521								
16	UO	32	6	161580,521	161580,521	1,0	0,4	1,0	5,1	9,0	10,0	14,0	1
17	UO	32	6	161580,521	161580,521	1,0	0,4	1,0	5,1	9,0	10,0	14,0	1
18	UO	32	6	-161580,521	-161580,521								
19	I	3	4	-161580,521	-152627,511								
20	I	107	4	-152627,511	152627,511	-1,0		0,5	24,4	72,0	83,0	124,0	1
21	I	3	4	152627,511	161580,521	0,9		1,0	0,7	28,0	34,0	38,7	1
22	UO	32	6	-161580,521	-161580,521								
23	UO	32	6	161580,521	161580,521	1,0	0,4	1,0	5,1	9,0	10,0	14,0	1
24	UO	32	6	161580,521	161580,521	1,0	0,4	1,0	5,1	9,0	10,0	14,0	1
25	UO	32	6	-161580,521	-161580,521								
26	I	3	4	-161580,521	-152627,511								
27	I	107	4	-152627,511	152627,511	-1,0		0,5	24,4	72,0	83,0	124,0	1
28	I	3	4	152627,511	161580,521	0,9		1,0	0,7	28,0	34,0	38,7	1

Poznámka: Limity klasifikace byly nastaveny podle Semi-Comp+.

Průřez je klasifikován třídou 1

Posudek ohybového momentu pro M_z

Podle EN 1993-1-1 článku 6.2.5 a rovnice (6.12), (6.13)

Plastický modul průřezu	$W_{pl,z}$	2,4306e-04	m ³
Plastický ohybový moment	$M_{pl,z,Rd}$	57,12	kNm
Jedn. posudek		0,63	-

Posudek smyku pro V_y

Podle EN 1993-1-1 článku 6.2.6 a rovnice (6.17)

Součinitel smykové korekce	η	1,20	
Smyk. plocha	A_v	2,0399e-03	m ²
Plastická smyková únosnost pro V_y	$V_{pl,y,Rd}$	276,77	kN
Jedn. posudek		0,00	-

Poznámka: Z průřezových charakteristik není získána žádná smyková plocha.

Prvek splňuje podmínky posudku průřezu.

4.10.6 EC-EN 1993 Posudek oceli MSP

Lineární výpočet
 Kombinace: MSP-Char (auto)
 Souřadný systém: Hlavní
 Extrém 1D: Dílec
 Výběr: Vše
Celkový posudek


Jméno	dx [m]	Stav	$u_{y,max}$ x [mm]] $u_{z,max}$ x [mm]]	$u_{y,var}$ [mm]] $u_{z,var}$ [mm]]	Lim. $u_{y,max}$ [mm] Lim. $u_{z,max}$ [mm]	Lim. $u_{y,var}$ [mm] Lim. $u_{z,var}$ [mm]	Posudek $u_{y,max}$ [-] Posudek $u_{z,max}$ [-]	Posudek $u_{y,var}$ [-] Posudek $u_{z,var}$ [-]	Nadvýšení dx u_z [mm] Nadvýšení [mm]	Posudek Celkový [-]
A_1.NP_1.02	0,75 0-	MSP-Char (auto)/1	0,0 -2,7	0,0 -0,3	15,0 7,5	8,3 4,2	0,00 0,36	0,00 0,06	- -	0,36
B_1.NP_1.52	0,90 0-	MSP-Char (auto)/2	0,0 -3,3	0,0 -0,3	18,0 9,0	10,0 5,0	0,00 0,36	0,00 0,06	- -	0,36
A_1.NP_1.3	0,60 0-	MSP-Char (auto)/1	0,0 -1,7	0,0 -0,2	12,0 6,0	6,7 3,3	0,00 0,28	0,00 0,06	- -	0,28

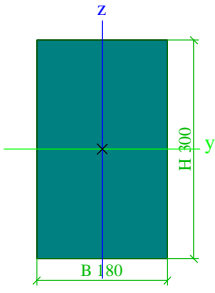

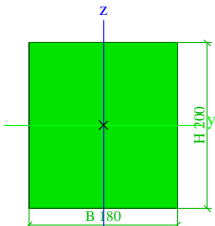
Jméno	Klíč kombinace
MSP-Char (auto)/1	ZS1 + ZS2 + ZS3 + 0.50*ZS5 + 0.60*ZS6
MSP-Char (auto)/2	ZS1 + ZS2 + ZS3

4.11 Návrh a posouzení konstrukce stropu v severozápadním křídle

S ohledem na špatný stav stávajícího stropu se navrhuje jeho snesení a nahrazení novou konstrukcí.


4.11.1 Průřezy

CS1		
Typ	OBDEL	
Detailní	180; 300	
Typ tvaru	Tlustostěnný	
Materiál	C24 (EN 338)	
Výroba	dřevo	
Barva		
A [m ²]	5,4000e-02	
A_y [m ²], A_z [m ²]	4,5000e-02	4,5000e-02
A_L [m ² /m], A_D [m ² /m]	9,6000e-01	9,6000e-01
$c_{y,UCS}$ [mm], $c_{z,UCS}$ [mm]	90	150
α [deg]	0,00	
I_y [m ⁴], I_z [m ⁴]	4,0500e-04	1,4580e-04
i_y [mm], i_z [mm]	87	52
$W_{el,y}$ [m ³], $W_{el,z}$ [m ³]	2,7000e-03	1,6200e-03
$W_{pl,y}$ [m ³], $W_{pl,z}$ [m ³]	3,3085e-03	1,9851e-03
$M_{pl,y,+}$ [Nm], $M_{pl,y,-}$ [Nm]	69477,46	69477,46
$M_{pl,z,+}$ [Nm], $M_{pl,z,-}$ [Nm]	41686,48	41686,48
d_y [mm], d_z [mm]	0	0
I_t [m ⁴], I_w [m ⁶]	3,6508e-04	0,0000e+00
β_y [mm], β_z [mm]	0	0

Obrázek			
CS2			
Typ	OBDEL		
Detailní	180; 200		
Typ tvaru	Tlustostěnný		
Materiál	C24 (EN 338)		
Výroba	dřevo		
Barva			
A [m²]	3,6000e-02		
A _y [m²], A _z [m²]	3,0009e-02	3,0007e-02	
A _L [m²/m], A _D [m²/m]	7,6000e-01	7,6000e-01	
C _{y,UCS} [mm], C _{z,UCS} [mm]	90	100	
α [deg]	0,00		
I _y [m⁴], I _z [m⁴]	1,2000e-04	9,7200e-05	
i _y [mm], i _z [mm]	58	52	
W _{el,y} [m³], W _{el,z} [m³]	1,2000e-03	1,0800e-03	
W _{pl,y} [m³], W _{pl,z} [m³]	1,4704e-03	1,3234e-03	
M _{pl,y,+} [Nm], M _{pl,y,-} [Nm]	30878,87	30878,87	
M _{pl,z,+} [Nm], M _{pl,z,-} [Nm]	27790,99	27790,99	
d _y [mm], d _z [mm]	0	0	
I _t [m⁴], I _w [m⁶]	1,8130e-04	9,7149e-09	
β _y [mm], β _z [mm]	0	0	
Obrázek			

4.11.2 Materiály

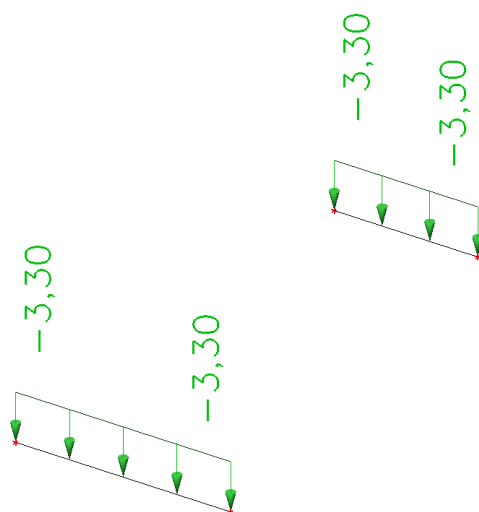
Timber EC5

Jméno	Typ dřeva	μ	E _{mod} [MPa]	f _{m,k} [MPa]	f _{t,0,k} [MPa]	f _{t,90,k} [MPa]	f _{c,0,k} [MPa]	f _{c,90,k} [MPa]	f _{v,k} [MPa]	Barva
	ρ [kg/m³]	α [m/mK]	G _{mod} [MPa]							
C24 (EN 338)	Rostlé dřevo 420,00	0 5,00e-06	1,1000e+04 6,9000e+02	24,0	14,5	0,4	21,0	2,5	4,0	

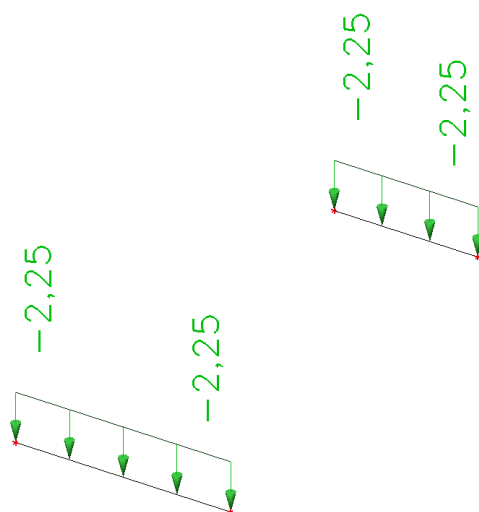
4.11.3 Zatěžovací stavy

Jméno	Popis	Typ působení	Skupina zatížení	Směr	Působení	Řídící zat. stav
	Spec	Typ zatížení				
ZS1	Vlastní tíha	Stálé Vlastní tíha	SZ1	-Z		
ZS2	Ostatní stálé	Stálé	SZ1			
ZS3	Užitné	Standard	SZ2		Krátkodobé	Žádný
	Standard	Proměnné Statické				
ZS4	VZT jednotka	Stálé Standard	SZ1			

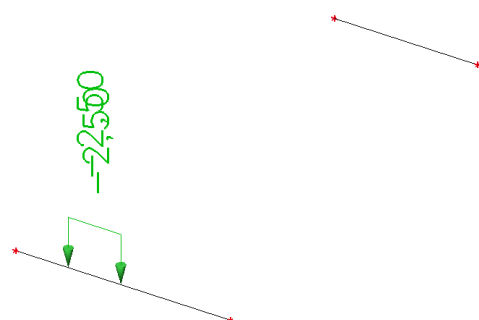
ZS2



ZS3



ZS4



4.11.4 Kombinace

Jméno	Popis	Typ	Zatěžovací stavy	Souč. [-]
MSÚ-Sada B (auto)		EN-MSÚ (STR/GEO) Soubor B	ZS1 - Vlastní tíha	1,000
			ZS2 - Ostatní stálé	1,000
			ZS3 - Užité	1,000
			ZS4 - VZT jednotka	1,000
MSP-Char (auto)		EN-MSP charakteristická	ZS1 - Vlastní tíha	1,000
			ZS2 - Ostatní stálé	1,000
			ZS3 - Užité	1,000
			ZS4 - VZT jednotka	1,000

4.11.5 Posudek dřeva podle MSÚ; Jedn. Posudek

Lineární výpočet, Extrém : Dílec

Výběr : Vše

Kombinace : MSÚ-Sada B (auto)

EN 1995-1-1 posudek

Nosník B1	4,500 m	CS1 - OBDEL (180; 300)	C24 (EN 338)	MSÚ-Sada B (auto)	0,50 -
-----------	---------	------------------------	--------------	-------------------	--------

Klíč kombinace

MSÚ-Sada B (auto) / 1.35*ZS1 + 1.35*ZS2 + 1.35*ZS4

Základní data

Dílčí součinitel spolehlivosti γ_M for rostlé dřevo	1,30
--	------

Údaje o materiálu

Ohyb (f_m, k)	24,0	MPa
Tah ($f_t, 0, k$)	14,5	MPa
Tah ($f_t, 90, k$)	0,4	MPa
Tlak ($f_c, 0, k$)	21,0	MPa
Tlak ($f_c, 90, k$)	2,5	MPa
Smyk (f_v, k)	4,0	MPa
Typ dřeva	Celistvý	

Kritický posudek je v místě **2,250 m**.

Vnitřní síly

N _{Ed}	0,00	kN
V _{y,Ed}	0,00	kN
V _{z,Ed}	-1,36	kN
T _{Ed}	0,00	kNm
M _{y,Ed}	15,10	kNm
M _{z,Ed}	0,00	kNm

Součinitel modifikace

Třída vlhkosti	1
Doba trvání zatížení	Stálé
Součinitel modifikace k_{mod}	0,60

...: POSUDEK ŘEZU ...

Ohyb

Podle EN 1995-1-1 článku 6.1.6 a rovnice (6.11), (6.12)

$\sigma_{m,y,d}$	5,6	MPa
$k_{h,y}$	1,00	
$f_{m,y,d}$	11,1	MPa
k_m	0,70	

Jednotkový posudek (6.11) = $0,50 + 0,00 = 0,50$ -

Jednotkový posudek (6.12) = $0,35 + 0,00 = 0,35$ -

Smyk

Podle EN 1995-1-1 článku 6.1.7 a rovnice (6.13)

k_{cr}	0,67	
$\tau_{z,d}$	0,1	MPa
$f_{v,d}$	1,8	MPa
Jednotkový posudek τ_z	0,03	-

Prvek splňuje podmínky posudku průřezu.

...: POSUDEK STABILITY ...

Nosníky zatížené ohybem nebo kombinací tlaku a ohybu

Podle EN 1995-1-1 článku 6.3.3 a rovnice (6.33), (6.35)

Parametry klopení		
Pružný kritický moment $M_{y,krit}$	331,09	kNm
Kritické ohybové napětí $\sigma_{m,krit}$	122,6	MPa
Poměrná štíhlost $\lambda_{rel,m}$	0,442	-
redukční součinitel k_{krit}	1,000	-

Jednotkový posudek (6.33) = 0,50 -

My,krit Parametry		
G0,05	462,5	MPa
Délka klopení L	4,500	m
Lef/L	0,90	
Účinná délka Lef	4,050	m
Vliv pozice zatížení	bez vlivu	

Prvek splňuje podmínky stabilitního posudku.

EN 1995-1-1 posudek

Nosník B2	3,000 m	CS2 - OBDEL (180; 200)	C24 (EN 338)	MSÚ-Sada B (auto)	0,41 -
-----------	---------	------------------------	--------------	-------------------	--------

Klíč kombinace	
MSÚ-Sada B (auto) / 1.15*ZS1 + 1.15*ZS2 + 1.50*ZS3 + 1.15*ZS4	

Základní data	
Dílčí součinitel spolehlivosti γ_M for rostlé dřevo	1,30

Údaje o materiálu		
Ohyb ($f_{m,k}$)	24,0	MPa
Tah ($f_{t,0,k}$)	14,5	MPa
Tah ($f_{t,90,k}$)	0,4	MPa
Tlak ($f_{c,0,k}$)	21,0	MPa
Tlak ($f_{c,90,k}$)	2,5	MPa
Smyk ($f_{v,k}$)	4,0	MPa
Typ dřeva	Celistvý	

Kritický posudek je v místě **1,500 m**.

Vnitřní síly		
NEd	0,00	kN
Vy,Ed	0,00	kN
Vz,Ed	0,00	kN
TEd	0,00	kNm
My,Ed	8,25	kNm
Mz,Ed	0,00	kNm

Součinitel modifikace	
Třída vlhkosti	1
Doba trvání zatížení	Krátkodobé
Součinitel modifikace k_{mod}	0,90

...: POSUDEK ŘEZU ...

Ohyb

Podle EN 1995-1-1 článku 6.1.6 a rovnice (6.11), (6.12)



Rekonstrukce výpravní budovy žst. Jaroměř

$\sigma_{m,y,d}$	6,9	MPa
kh,y	1,00	
$f_{m,y,d}$	16,6	MPa
k_m	0,70	

Jednotkový posudek (6.11) = $0,41 + 0,00 = 0,41$ -

Jednotkový posudek (6.12) = $0,29 + 0,00 = 0,29$ -

Smyk

Podle EN 1995-1-1 článku 6.1.7 a rovnice (6.13)

k_{cr}	0,67	
$\tau_{z,d}$	0,0	MPa
$f_{v,d}$	2,8	MPa
Jednotkový posudek τ_z	0,00	-

Prvek splňuje podmínky posudku průřezu.

...: POSUDEK STABILITY ...

Nosníky zatížené ohybem nebo kombinací tlaku a ohybu

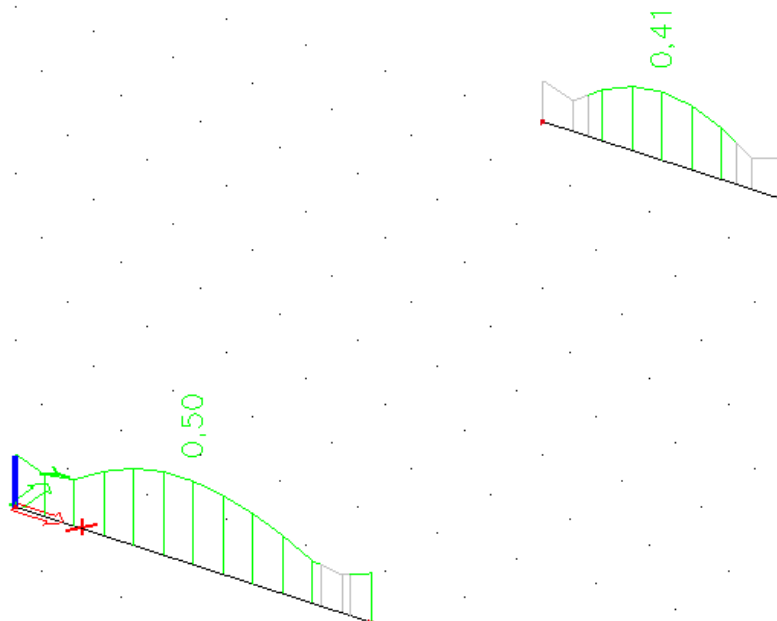
Podle EN 1995-1-1 článku 6.3.3 a rovnice (6.33), (6.35)

Parametry klopení		
Pružný kritický moment $M_{y,krit}$	285,75	kNm
Kritické ohybové napětí $\sigma_{m,krit}$	238,1	MPa
Poměrná štíhlost $\lambda_{rel,m}$	0,317	-
redukční součinitel k_{krit}	1,000	-

Jednotkový posudek (6.33) = $0,41$ -

My,krit Parametry		
$G_{0,05}$	462,5	MPa
Délka klopení L	3,000	m
L_{ef}/L	0,90	
Účinná délka L_{ef}	2,700	m
Vliv pozice zatížení	bez vlivu	

Prvek splňuje podmínky stabilitního posudku.





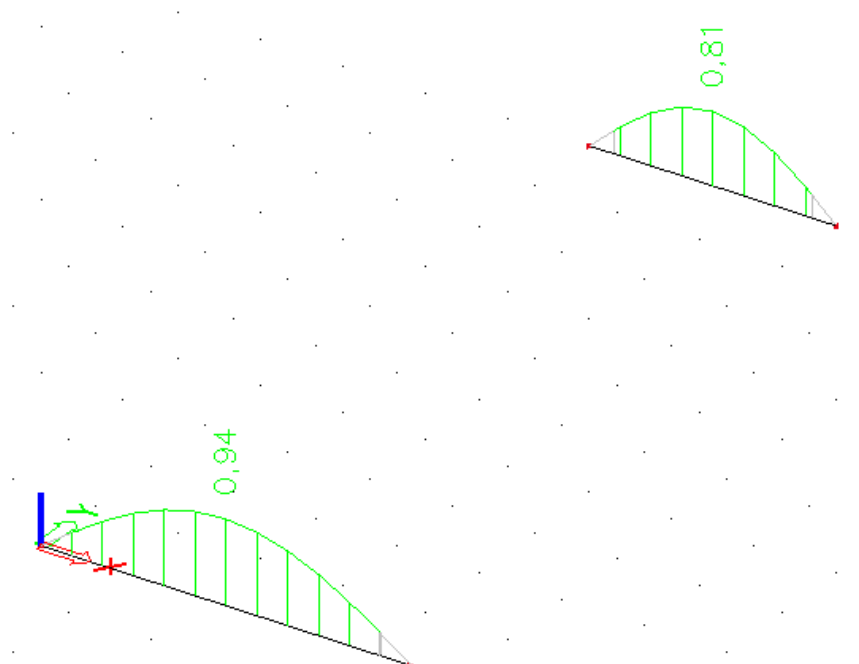
4.11.6 Posudek dřeva podle MSP; Jedn. Posudek

Lineární výpočet, Extrém : Dílec

Výběr : Vše

Kombinace : MSP-Char (auto)

Dílec	Průřez	dx [m]	Zatěžovací stav	Jedn. posudek [-]	uy inst [mm]	Rel uy inst [1/xx]	Posudek uy inst [-]	uy fin [mm]	Rel uy fin [1/xx]	Posudek uy fin [-]
	Materiál		k _{def} [-]		uz inst [mm]	Rel uz inst [1/xx]	Posudek uz inst [-]	uz fin [mm]	Rel uz fin [1/xx]	Posudek uz fin [-]
B1	CS1 - OBDEL	2,250	MSP-Char (auto)/1	0,94	0,0	0	0,00	0,0	0	0,00
	C24 (EN 338)		0,60		-8,5	1/530	0,94	-12,4	1/363	0,83
B2	CS2 - OBDEL	1,500	MSP-Char (auto)/1	0,81	0,0	0	0,00	0,0	0	0,00
	C24 (EN 338)		0,60		-4,9	1/617	0,81	-7,0	1/430	0,70



V architektonicko-stavební části jsou navrženy v obou částech stropu profily 180 x 320 z důvodu vedení vzduchotechnických instalací, vzhledem k tomu, že se jedná o větší průřez, je zřejmé, že prvky vyhoví.

4.12 Posouzení krokví v místě světlíku nad halou

Posouzení nosníku na kombinaci ohybu a smyku

Krokev

Materiál **Rostlé dřevo**

Třída provozu **1**

$$\Rightarrow k_{mod} = 0,8$$

Pevnostní třída **C24**

γ_M

$$k_{def} = 0,6$$

$$f_{m,k} = 24,00 \text{ MPa}$$

$$f_{m,d} = 14,77 \text{ MPa}$$

$$f_{t,0,k} = 14,00 \text{ MPa}$$

$$f_{t,0,d} = 8,62 \text{ MPa}$$

$$f_{t,90,k} = 0,50 \text{ MPa}$$

$$f_{t,90,d} = 0,31 \text{ MPa}$$

$$f_{c,0,k} = 21,00 \text{ MPa}$$

$$f_{c,0,d} = 12,92 \text{ MPa}$$

$$f_{c,90,k} = 2,50 \text{ MPa}$$

$$f_{c,90,d} = 1,54 \text{ MPa}$$

$$f_{v,k} = 2,50 \text{ MPa}$$

$$f_{v,d} = 1,54 \text{ MPa}$$

$$E_{0,05} = 7,4 \text{ GPa}$$

$$E_{0,mean} = 11 \text{ GPa}$$

$$\rho = 504 \text{ kg/m}^3$$

Průřez $b = 100 \text{ mm}$

$$h = 160 \text{ mm}$$

100



160

$$\Rightarrow k_h = 0,99$$

$$A = 16000 \text{ mm}^2$$

$$I_y = 3,4E+07 \text{ mm}^4$$

$$W_y = 426667 \text{ mm}^3$$

Rozpětí prvku:

Zatěžovací šířka:

$$L = 2,90 \text{ m}$$

$$a = 1,50 \text{ m}$$

$$L_{teor} = 3,045 \text{ m}$$

$$L_{ef} = 0,9 * L = 2,74 \text{ m}$$

Plocha uložení zhlaví:

$$b_{eff} = 100 \text{ mm}$$

$$l_{dot} = 100 \text{ mm}$$

$$\Rightarrow l_r = 100 \text{ mm}$$

$$l_{eff} = 153,333 \text{ mm} \Rightarrow k_{c,90} = 2,45$$

$$A_{eff} = b_{eff} * l_{eff} = 15333,3 \text{ mm}^2$$

Zatížení:

$$f_k = 3,05 \text{ kN/m'}$$

$$f_d = 4,39 \text{ kN/m'}$$

Vnitřní síly:

$$M_{Ek} = 1/8 * f_k * L_{teor}^2 = 3,54 \text{ kNm}$$

$$M_{Ed} = 1/8 * f_d * L_{teor}^2 = 5,09 \text{ kNm}$$

$$V_{Ek} = 1/2 * f_k * L_{teor} = 4,65 \text{ kN}$$

$$V_{Ed} = 1/2 * f_d * L_{teor} = 6,69 \text{ kN}$$

Posouzení 1. MS:

Podpora - tlak kolmo na vlákna

$$\sigma_{o,90,d} = V_{Ed} / A_{eff} = 0,436 \text{ MPa} < k_{c,90} f_{c,90,d} = 3,772 \text{ MPa} \Rightarrow \text{VYHOVUJE}$$

Smyk

$$k_{cr} = 0,67$$

$$b_{eff,cr} = b * k_{cr} = 67 \text{ mm}$$

$$\tau_{v,d} = 3/2 (V_{Ed} / A) = 0,936 \text{ MPa} < k_{cr} f_{v,d} = 1,031 \text{ MPa} \Rightarrow \text{VYHOVUJE}$$

Ohyb

$$\lambda_{rel,m} = 0,427$$

$$\sigma_{m,crit} = 131,637 \text{ MPa}$$

$$k_{crit} = 1,0$$

$$\sigma_{m,d} = M_{Ed} / W_y = 11,932 \text{ MPa} < k_{crit} f_{m,d} = 14,769 \text{ MPa} \Rightarrow \text{VYHOVUJE}$$

Posouzení 2. MS

$$k = 250$$

$$w_{lim} = L_{teor} / k = 12 \text{ mm}$$

$$\psi_{2,1} = 0,0$$

$$w_{1,inst} = 5/384 g_k L_{teor}^2 / (E_{0,mean} I_y) = 1,5 \text{ mm}$$

$$w_{inst} = w_{1,inst} + w_{2,inst} = 9,1 \text{ mm} < L_{teor} / 300 = 10,15 \text{ mm} \Rightarrow \text{VYHOVUJE}$$

$$w_{2,inst} = 5/384 q_k L_{teor}^2 / (E_{0,mean} I_y) = 7,6 \text{ mm}$$

$$w_{net,fin} = w_{1,inst} (1 + k_{def}) + w_{2,inst} (1 + \psi_{2,1} k_{def}) = 10,01 \text{ mm} \Rightarrow \text{VYHOVUJE}$$